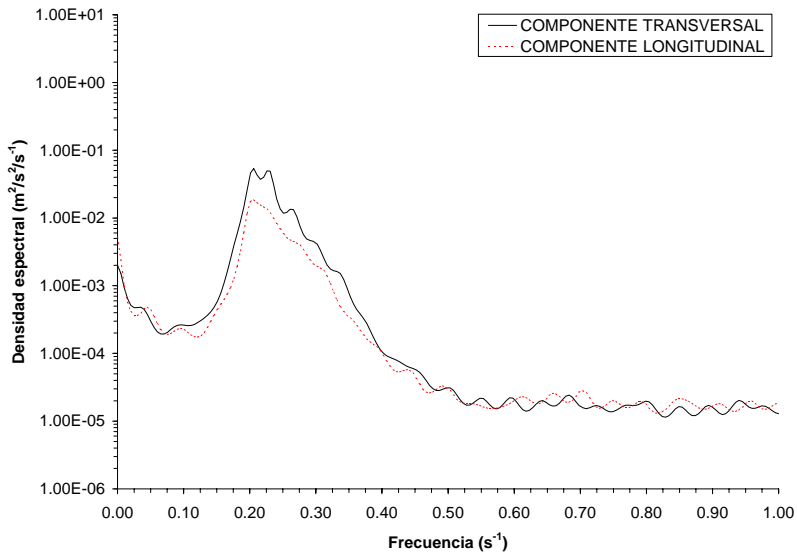
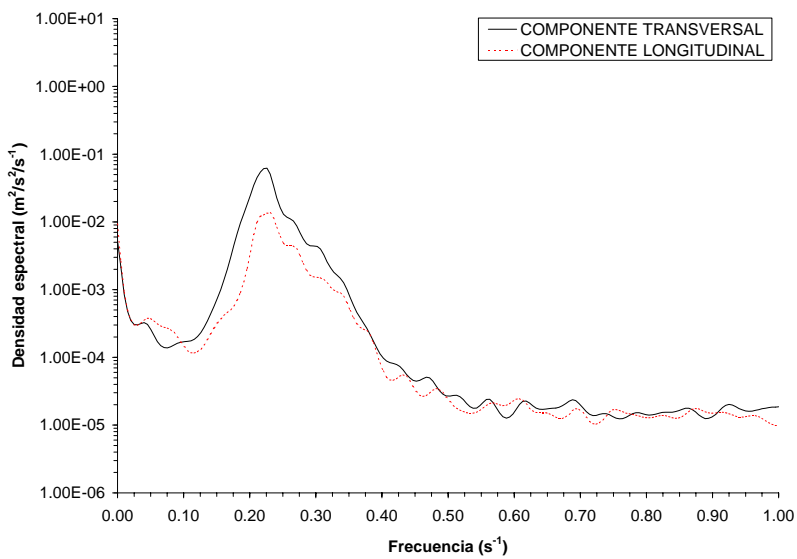


102012

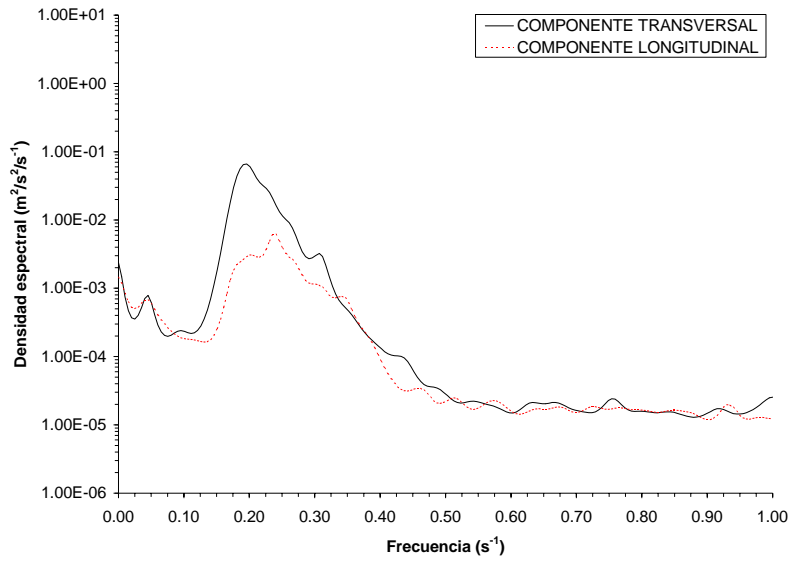


102015

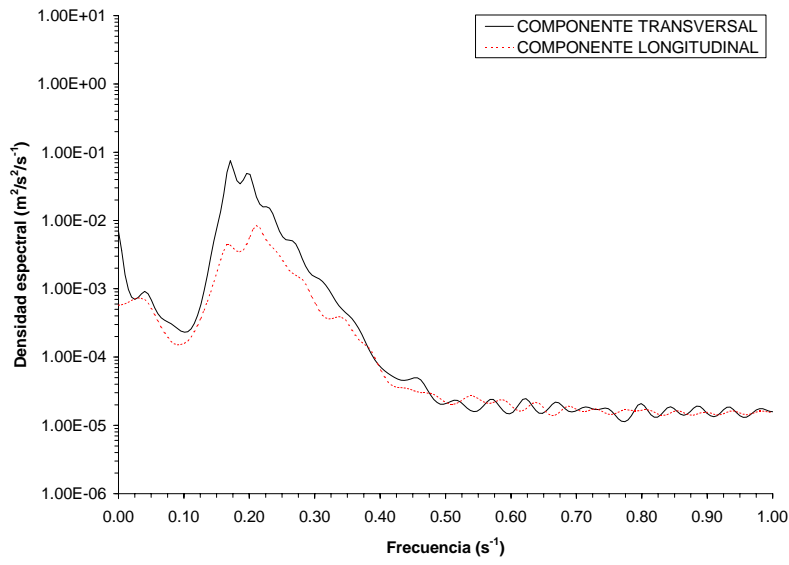


102018

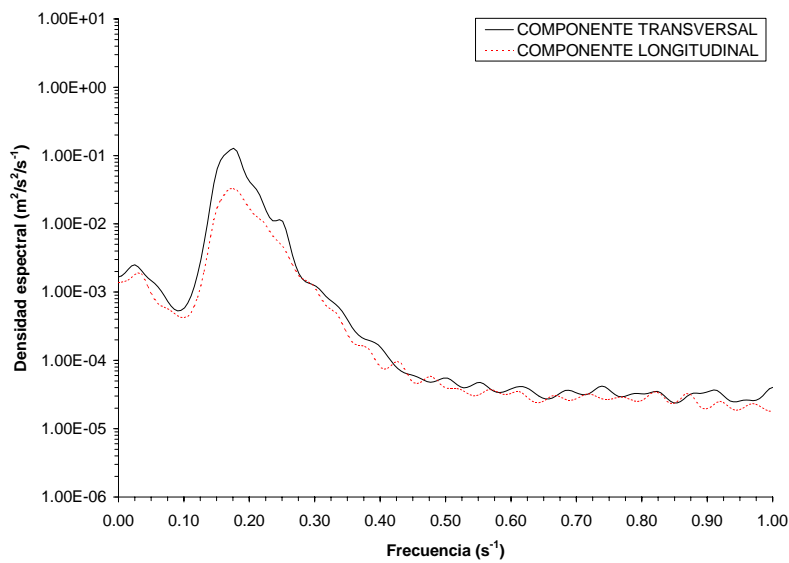
Figura A5 - 1. Densidades espectrales de las series temporales de velocidades orbitales registradas en el nivel superior del TRIPODE 1 entre las 12:00 horas del 20 de octubre y las 18:00 horas del 20 de octubre.



102021

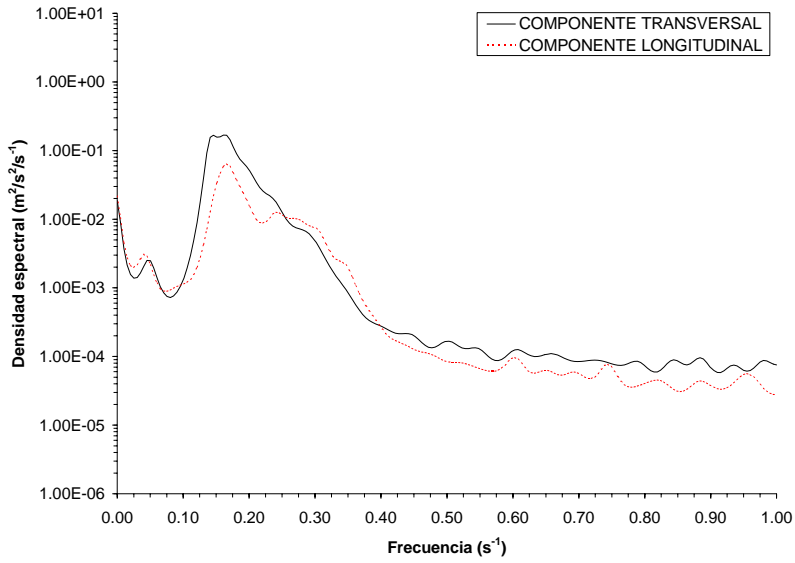


102100

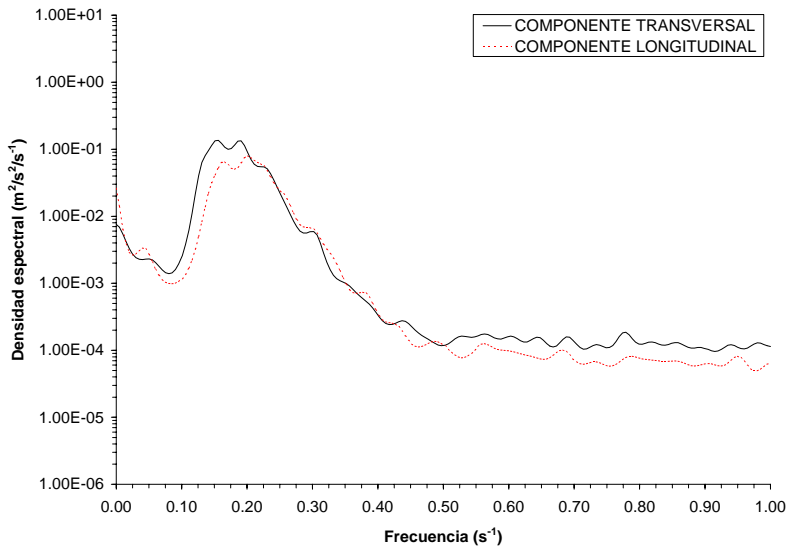


102103

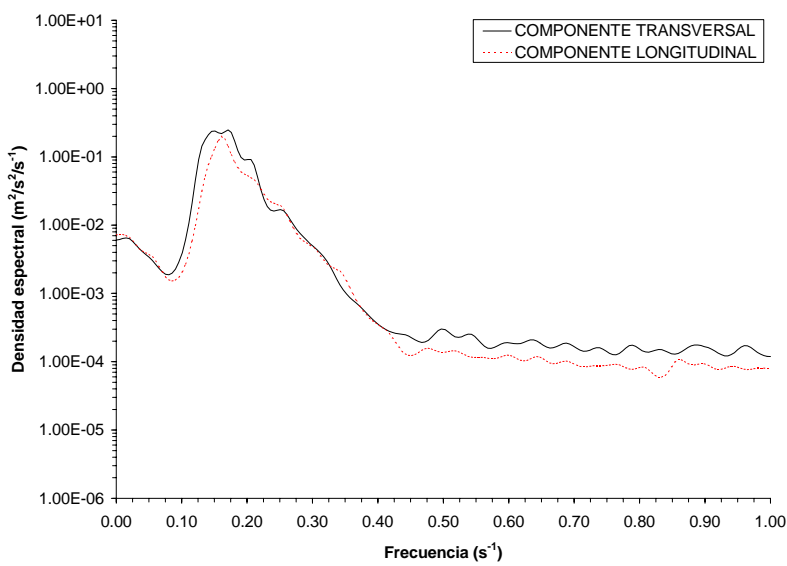
Figura A5 - 2. Densidades espectrales de las series temporales de velocidades orbitales registradas en el nivel superior del TRIPODE 1 entre las 21:00 horas del 20 de octubre y las 3:00 horas del 21 de octubre.



102106

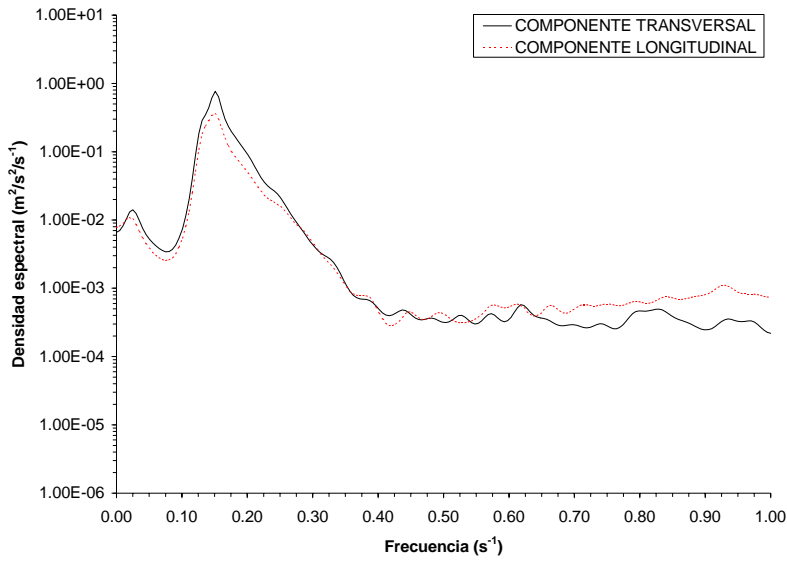


102109

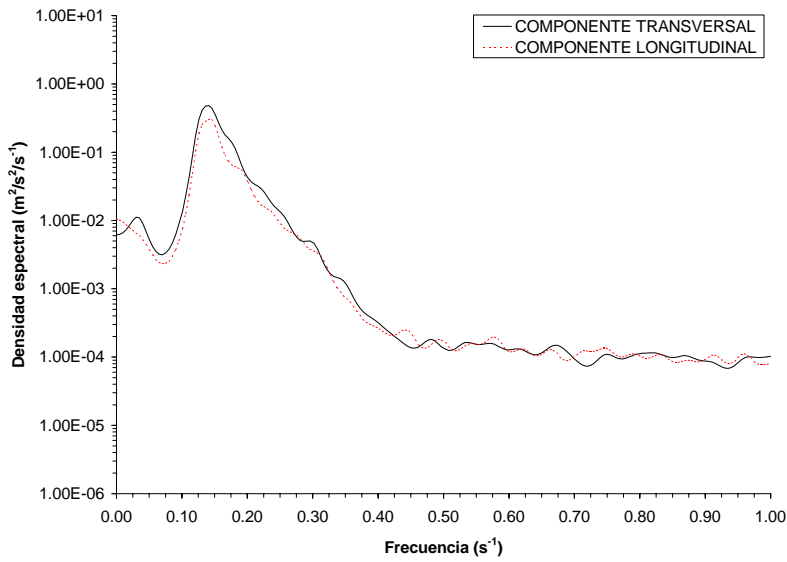


102112

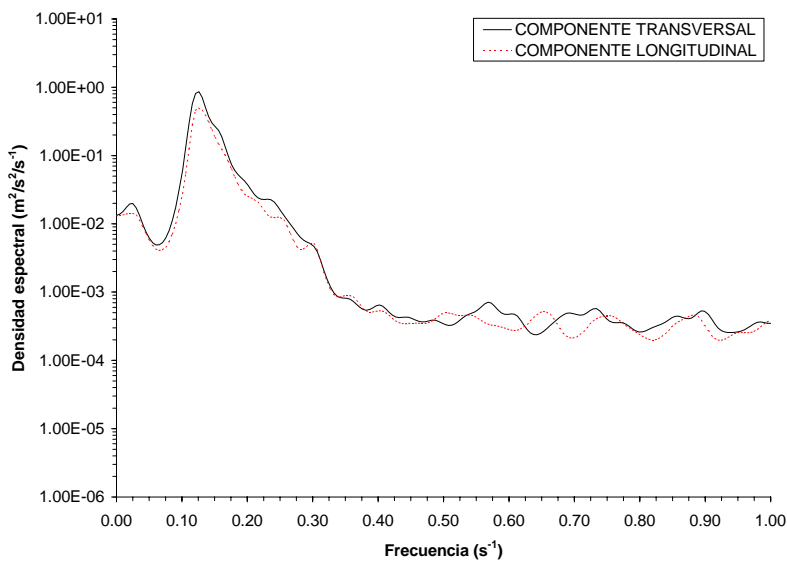
Figura A5 - 3. Densidades espectrales de las series temporales de velocidades orbitales registradas en el nivel superior del TRÍPODE 1 entre las 6:00 horas del 21 de octubre y las 12:00 horas del 21 de octubre.



102115

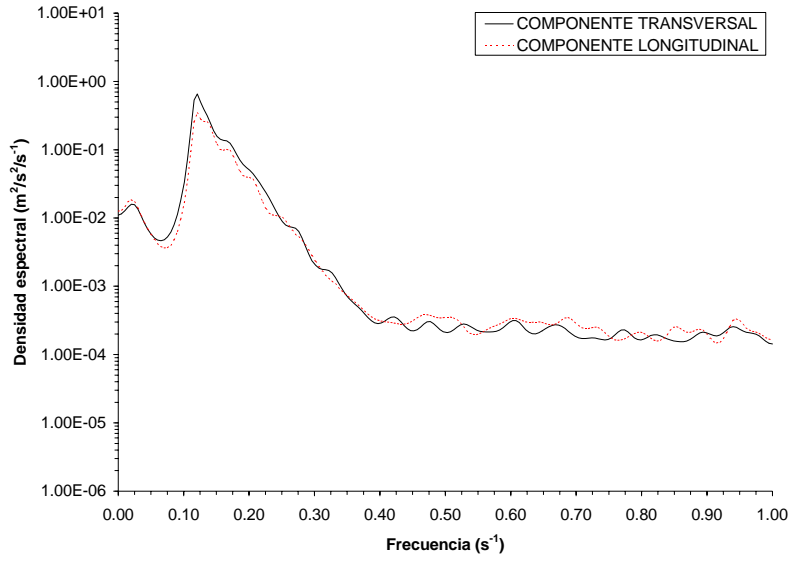


102118

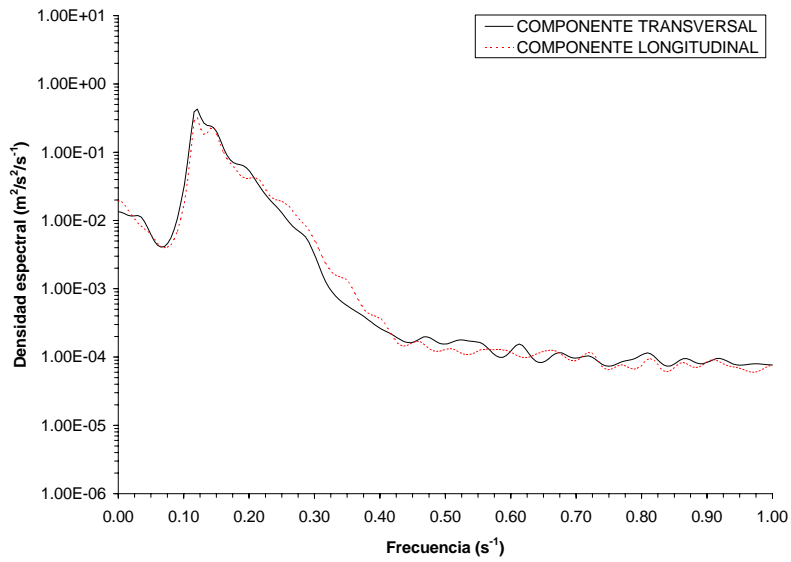


102121

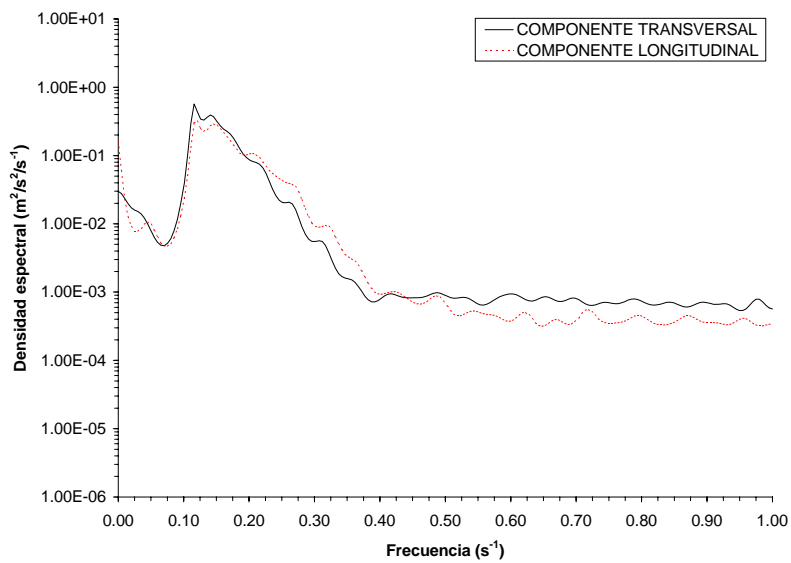
Figura A5 - 4. Densidades espectrales de las series temporales de velocidades orbitales registradas en el nivel superior del TRÍPODE 1 entre las 15:00 horas del 21 de octubre y las 21:00 horas del 21 de octubre.



102200

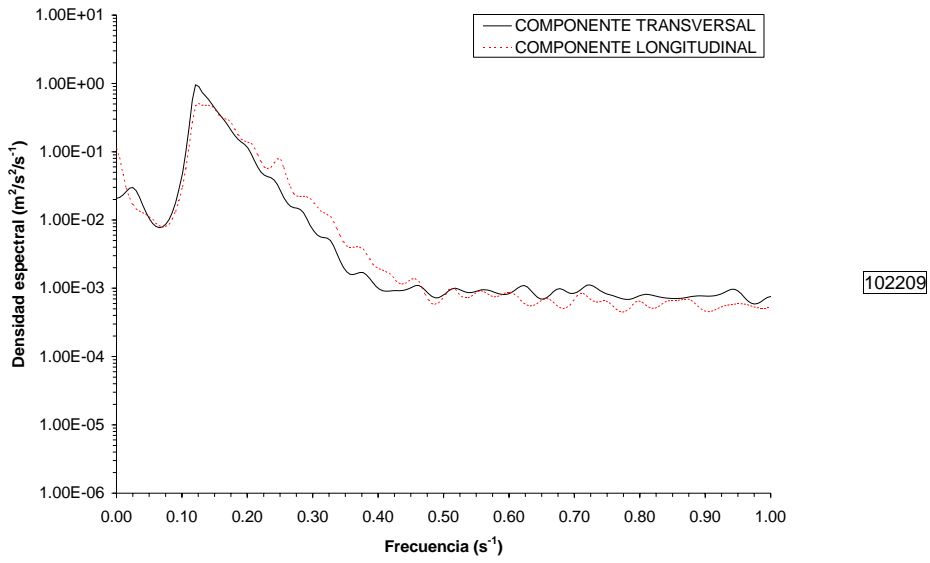


102203

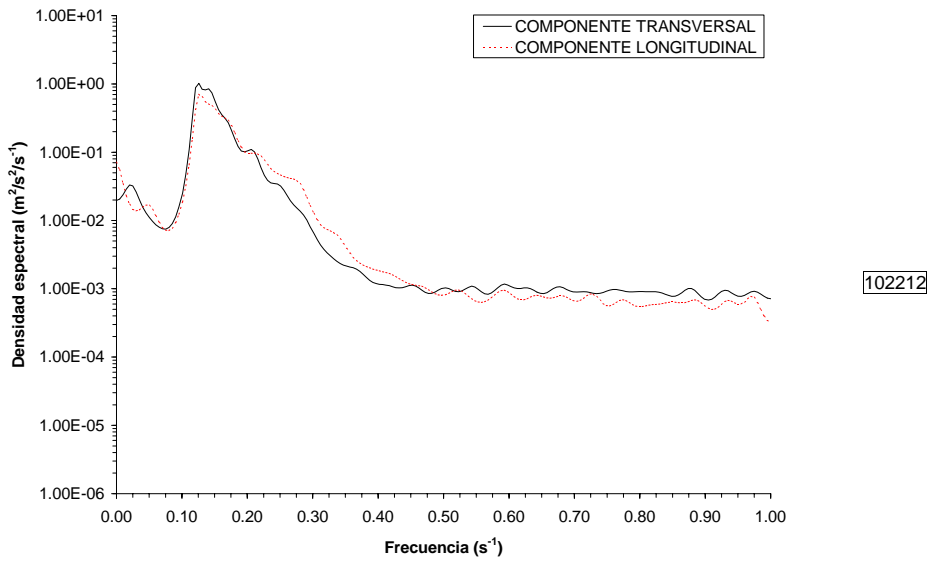


102206

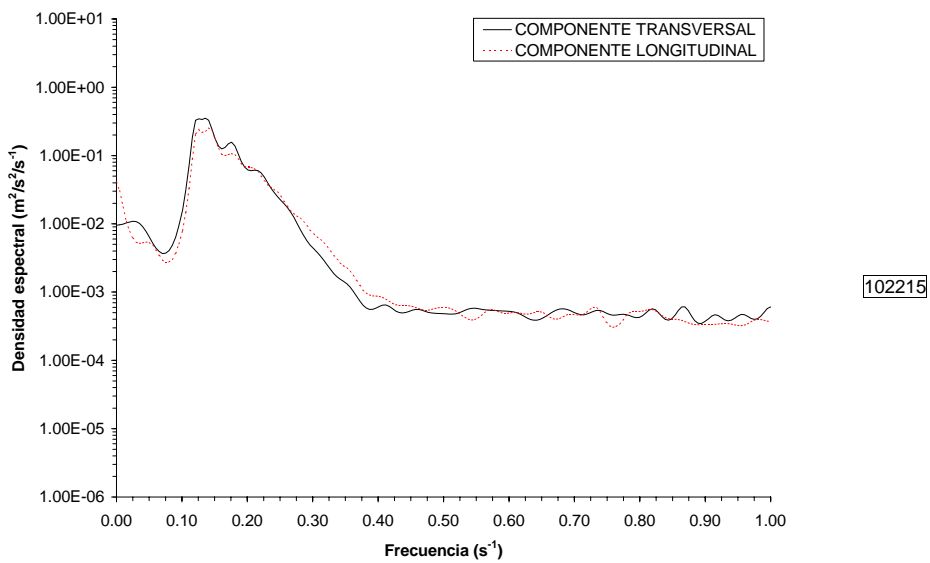
Figura A5 - 5. Densidades espectrales de las series temporales de velocidades orbitales registradas en el nivel superior del TRÍPODE 1 entre las 0:00 horas del 22 de octubre y las 6:00 horas del 22 de octubre.



102209

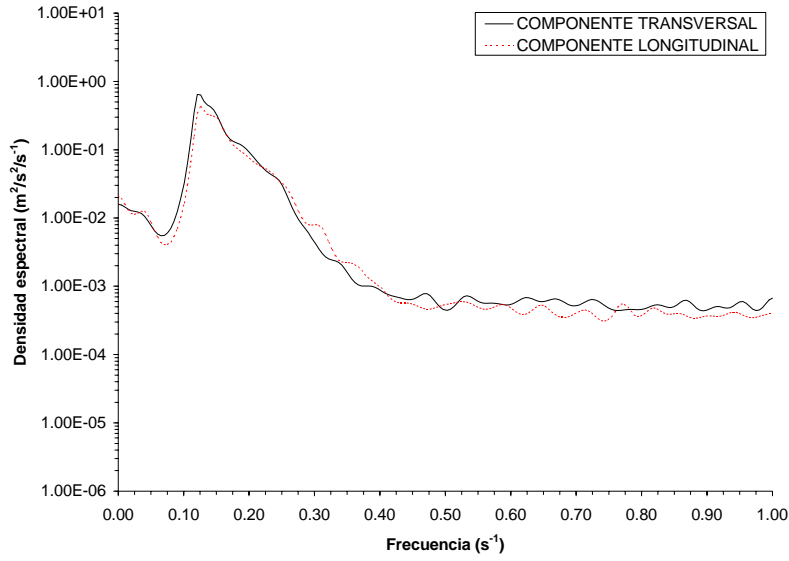


102212

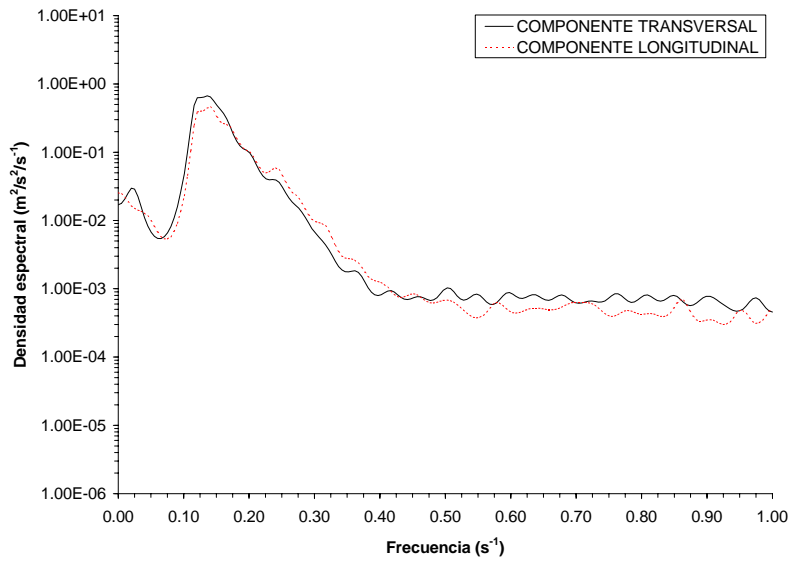


102215

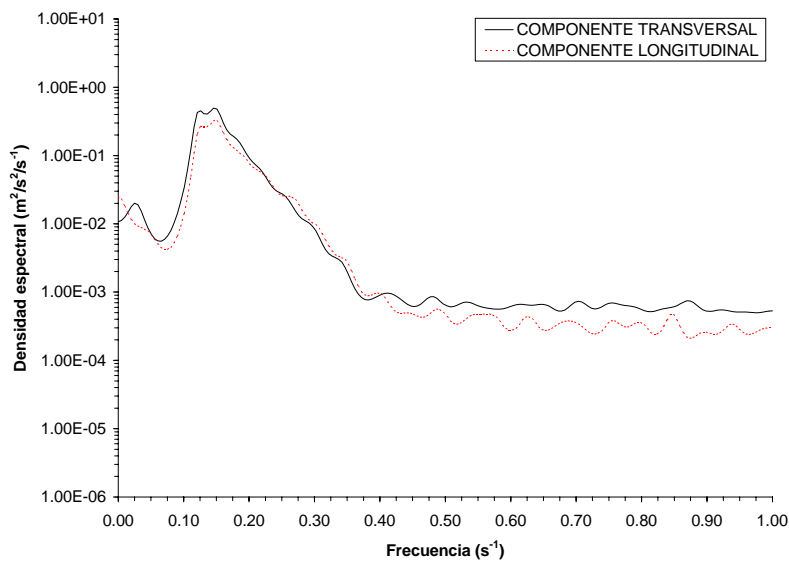
Figura A5 - 6. Densidades espectrales de las series temporales de velocidades orbitales registradas en el nivel superior del TRIPODE 1 entre las 9:00 horas del 22 de octubre y las 15:00 horas del 22 de octubre.



102218



102221



102300

Figura A5 - 7. Densidades espectrales de las series temporales de velocidades orbitales registradas en el nivel superior del TRIPODE 1 entre las 18:00 horas del 22 de octubre y las 0:00 horas del 23 de octubre.

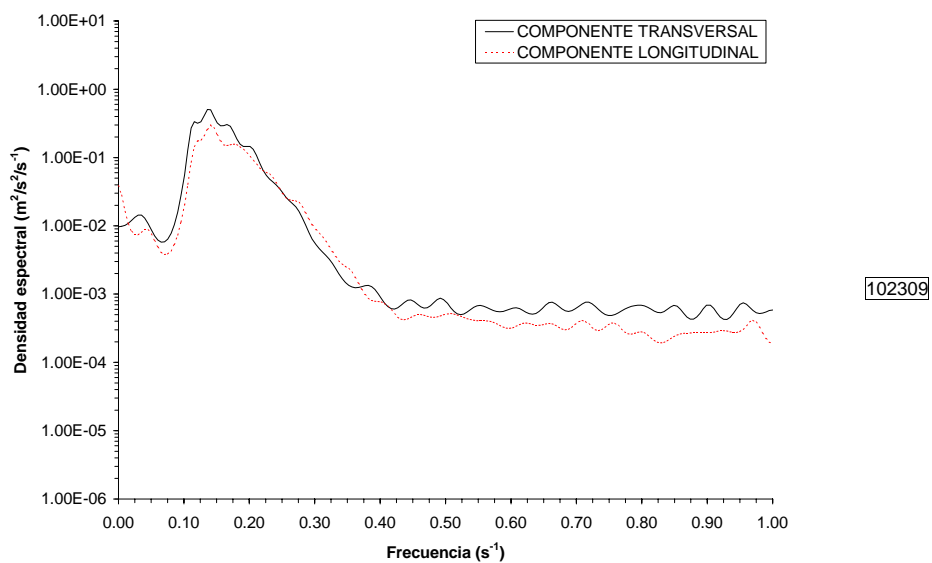
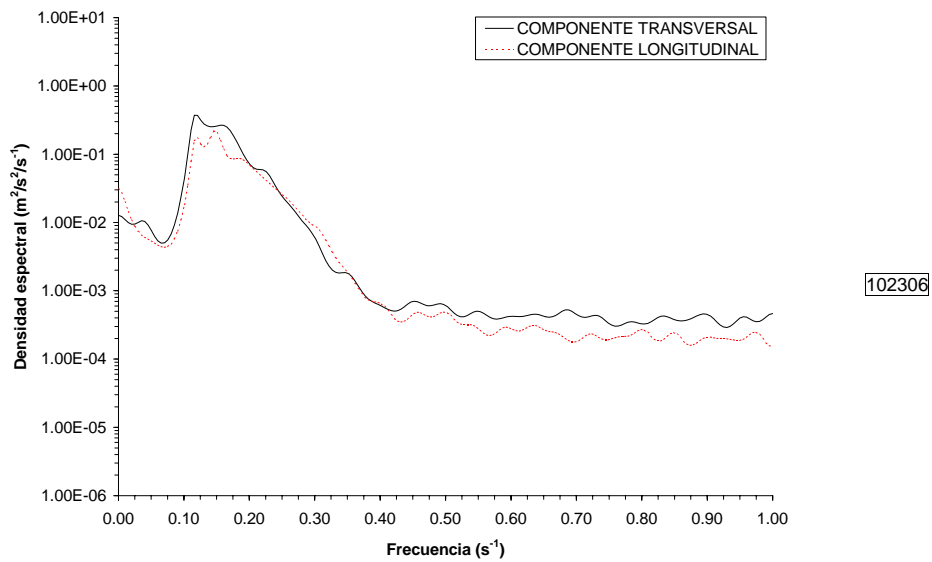
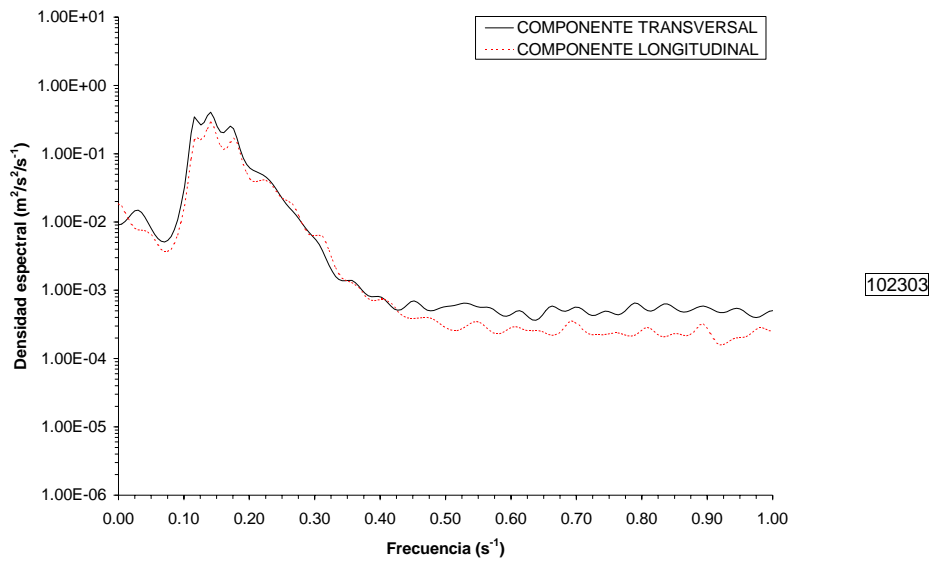
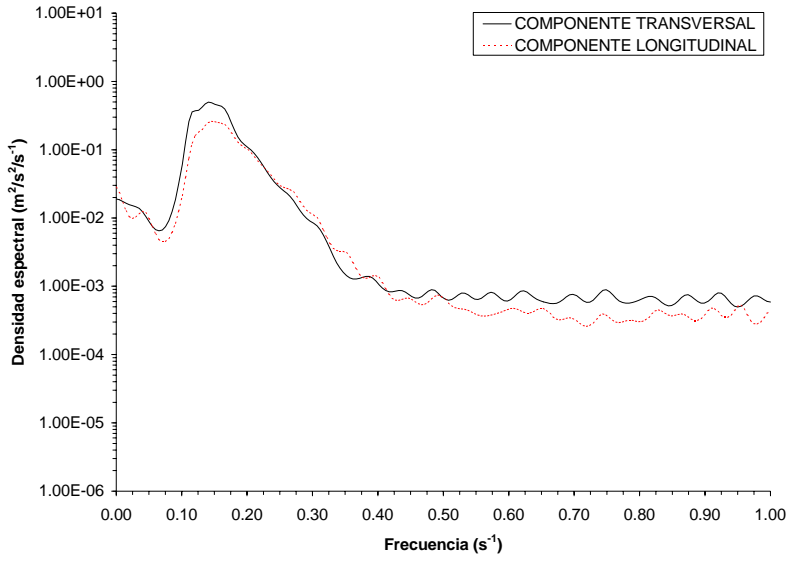
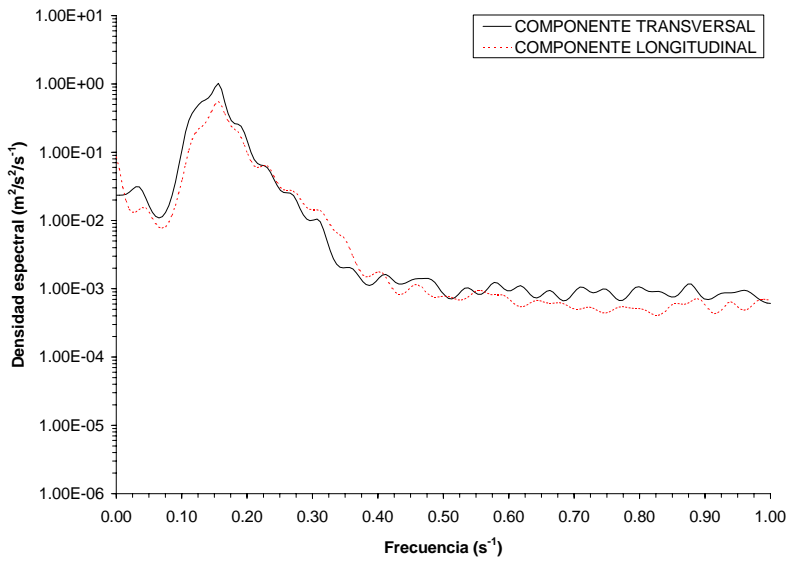


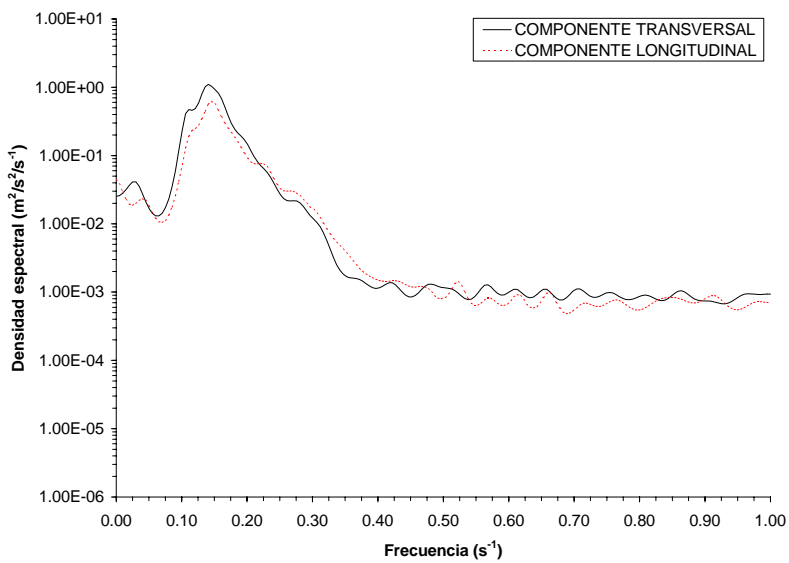
Figura A5 - 8. Densidades espectrales de las series temporales de velocidades orbitales registradas en el nivel superior del TRÍPODE 1 entre las 3:00 horas del 23 de octubre y las 9:00 horas del 23 de octubre.



102312

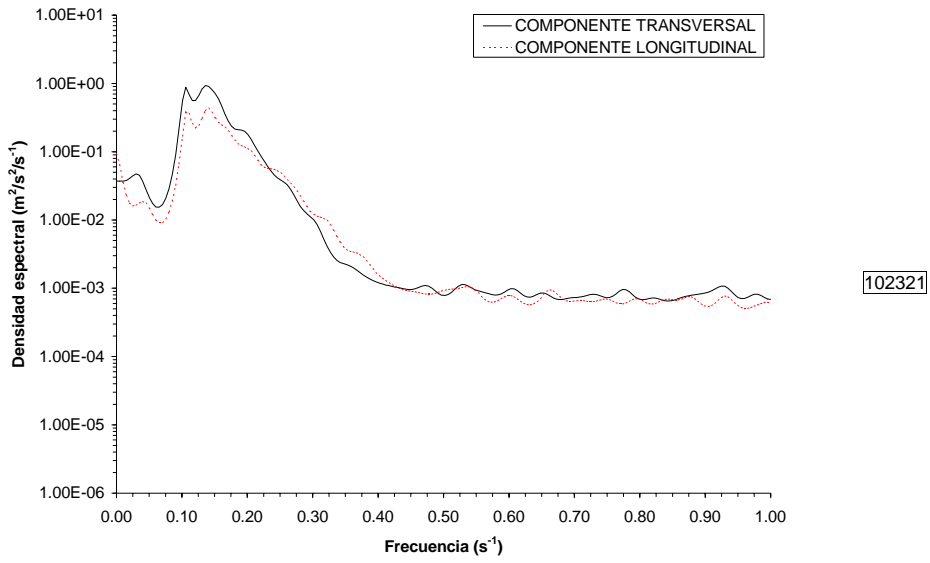


102315

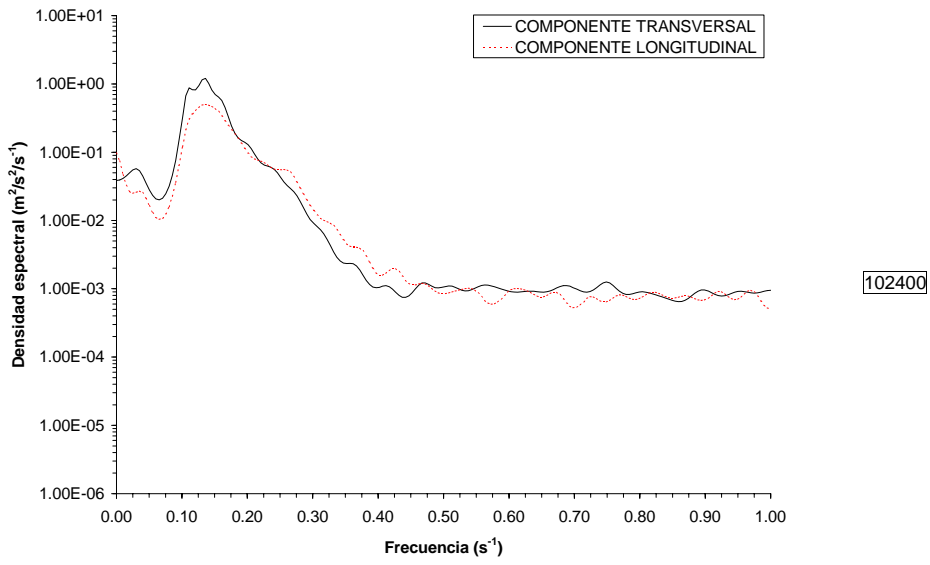


102318

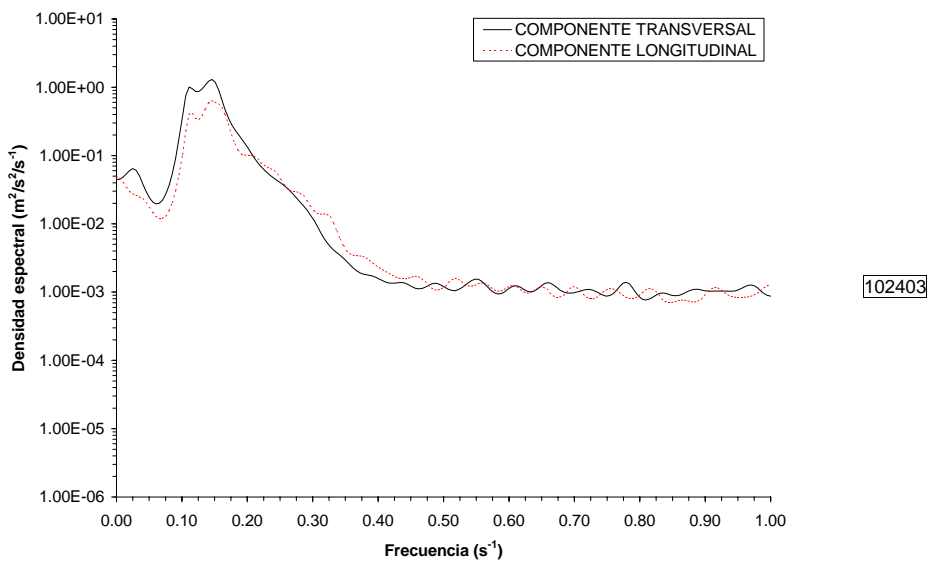
Figura A5 - 9. Densidades espectrales de las series temporales de velocidades orbitales registradas en el nivel superior del TRIPODE 1 entre las 12:00 horas del 23 de octubre y las 18:00 horas del 23 de octubre.



102321

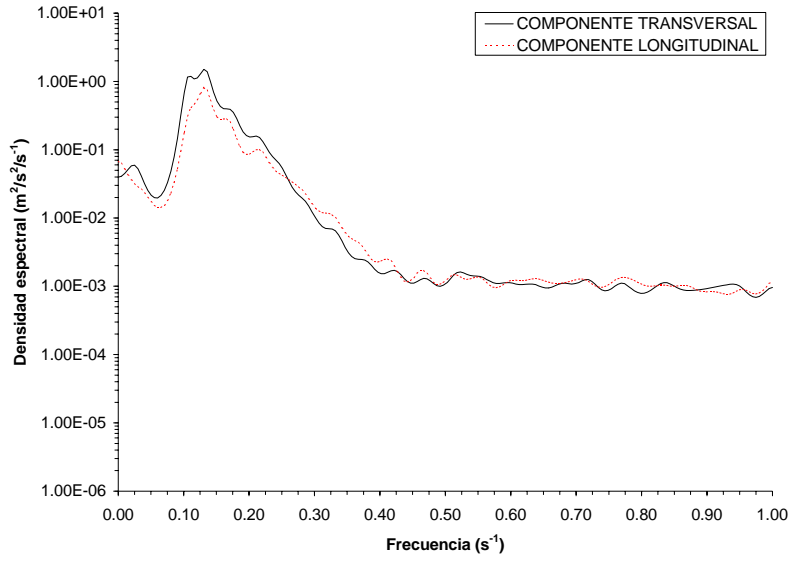


102400

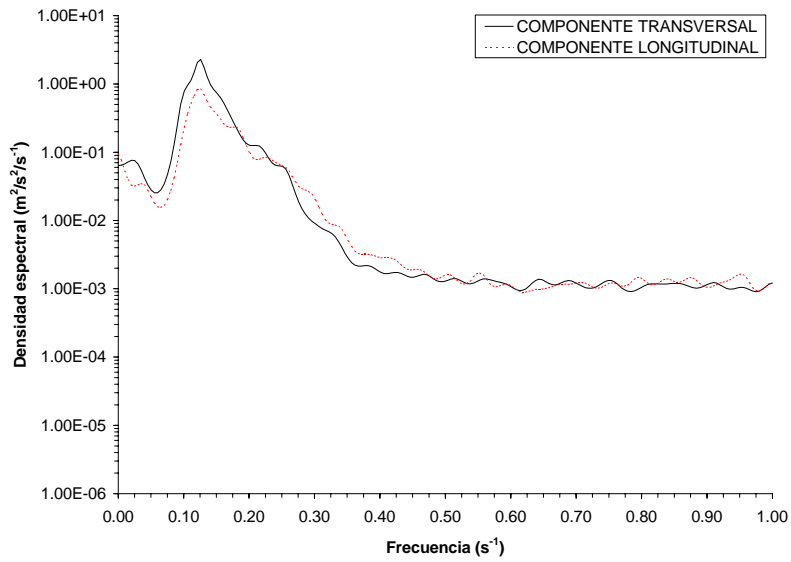


102403

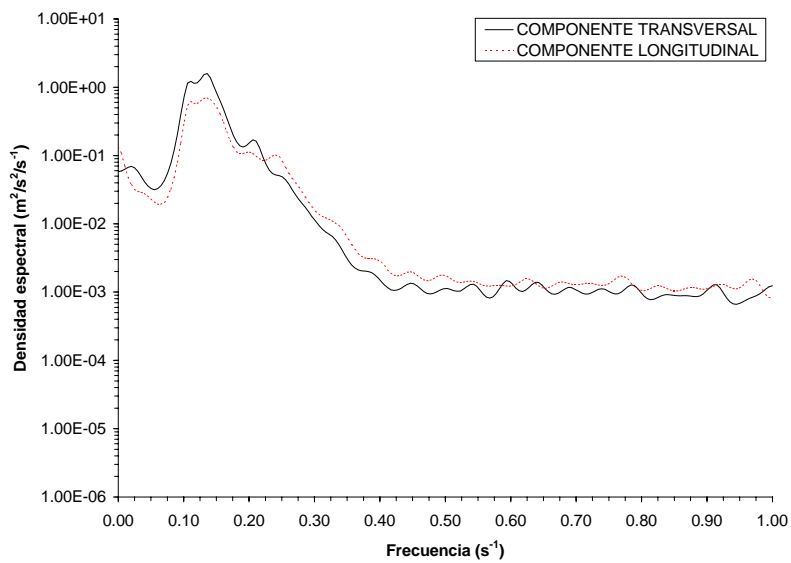
Figura A5 - 10. Densidades espectrales de las series temporales de velocidades orbitales registradas en el nivel superior del TRIPODE 1 entre las 21:00 horas del 23 de octubre y las 3:00 horas del 24 de octubre.



102406

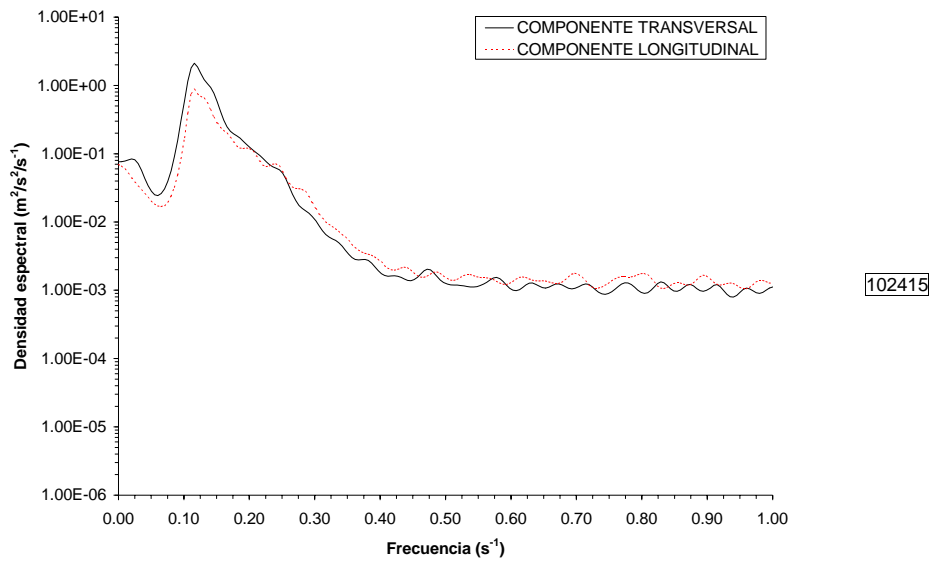


102409

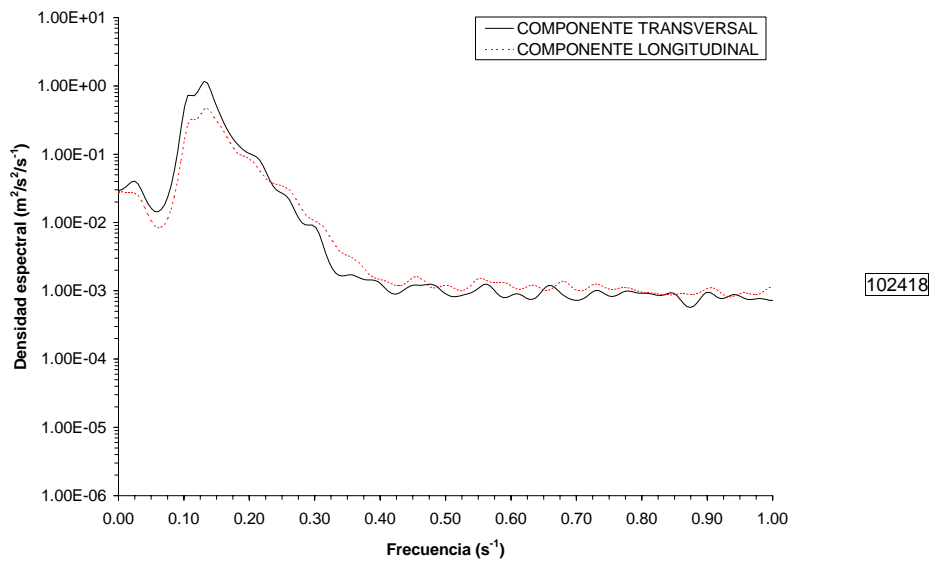


102412

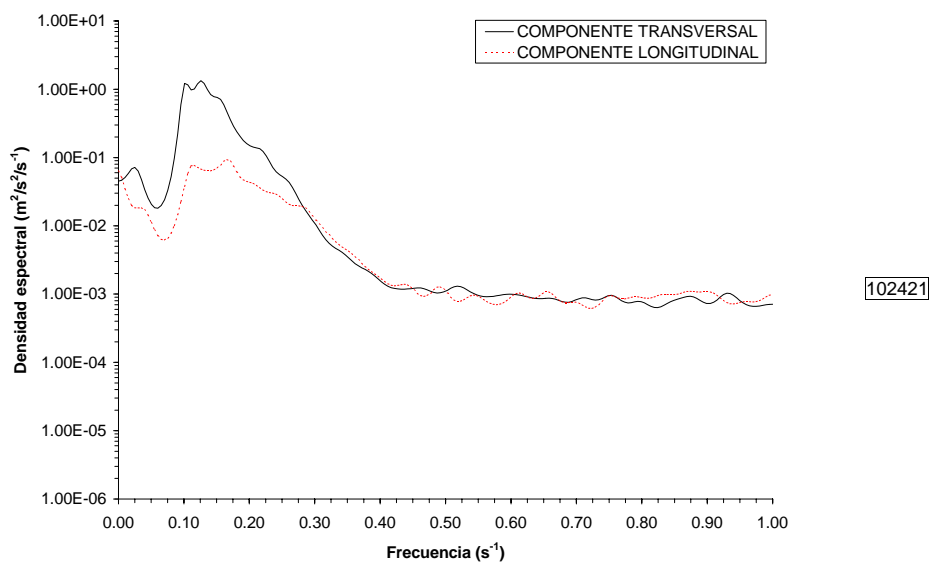
Figura A5 - 11. Densidades espectrales de las series temporales de velocidades orbitales registradas en el nivel superior del TRIPODE 1 entre las 6:00 horas del 24 de octubre y las 12:00 horas del 24 de octubre.



102415

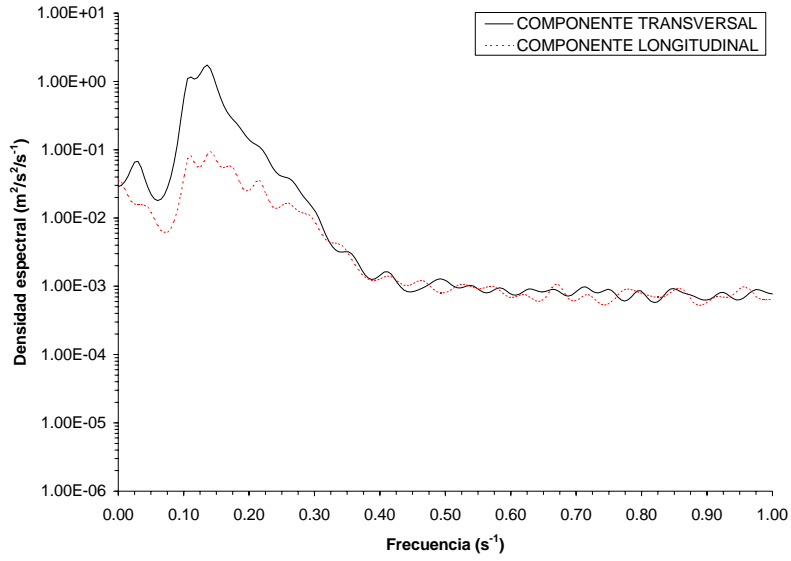


102418

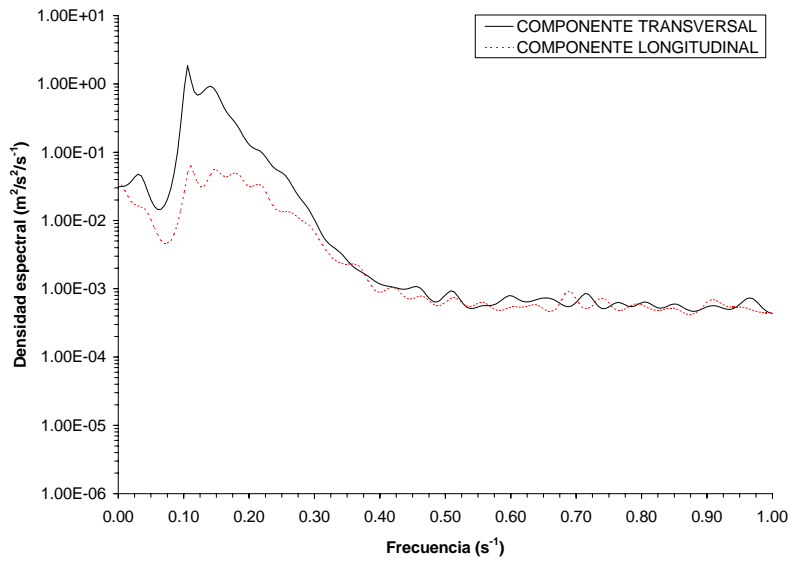


102421

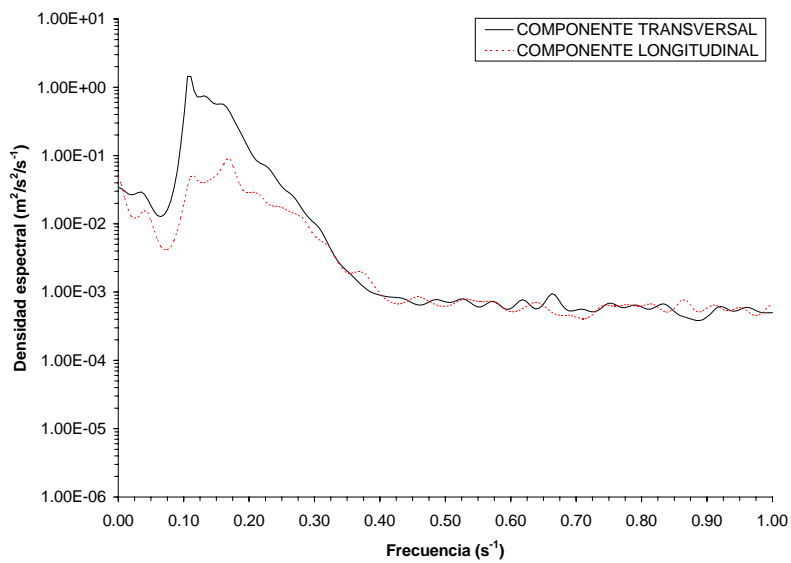
Figura A5 - 12. Densidades espectrales de las series temporales de velocidades orbitales registradas en el nivel superior del TRÍPODE 1 entre las 15:00 horas del 24 de octubre y las 21:00 horas del 24 de octubre.



102500

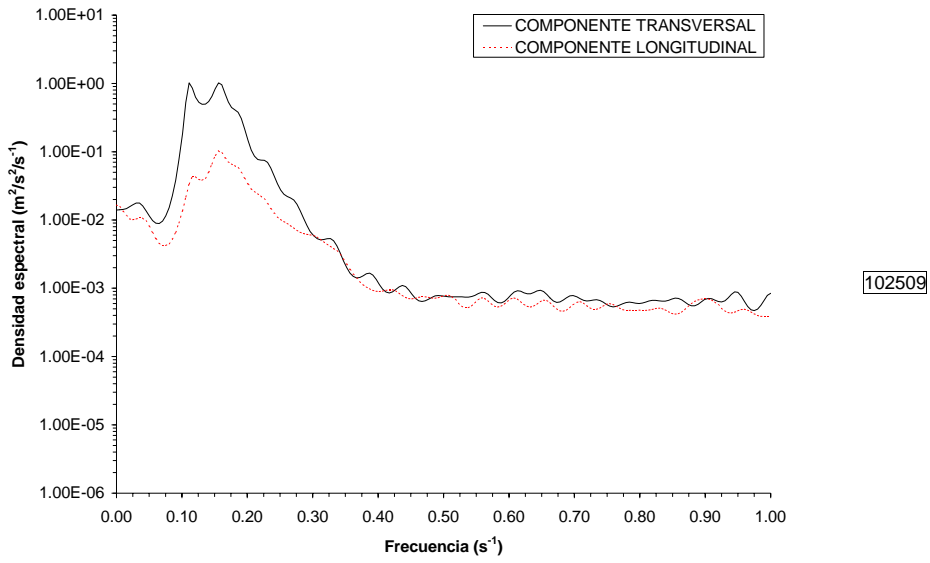


102503

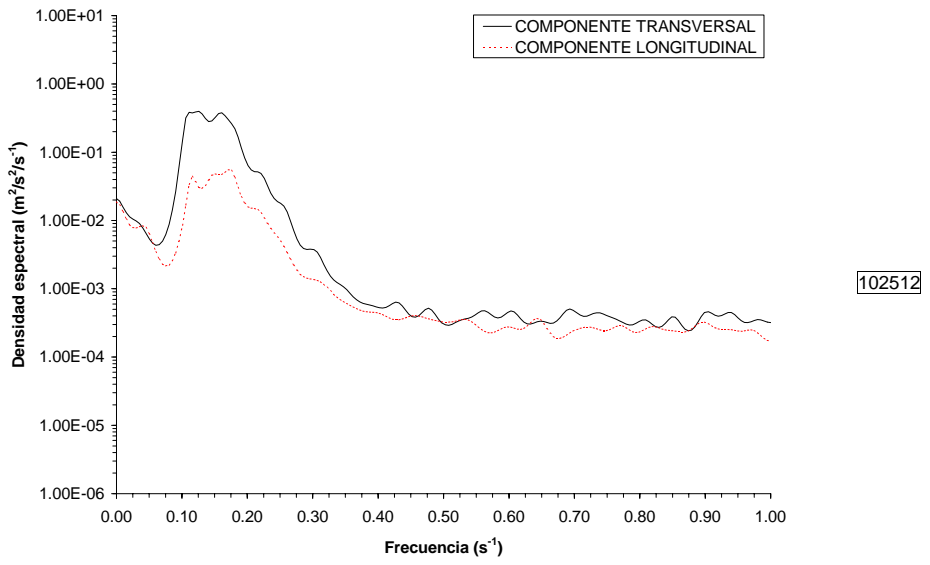


102506

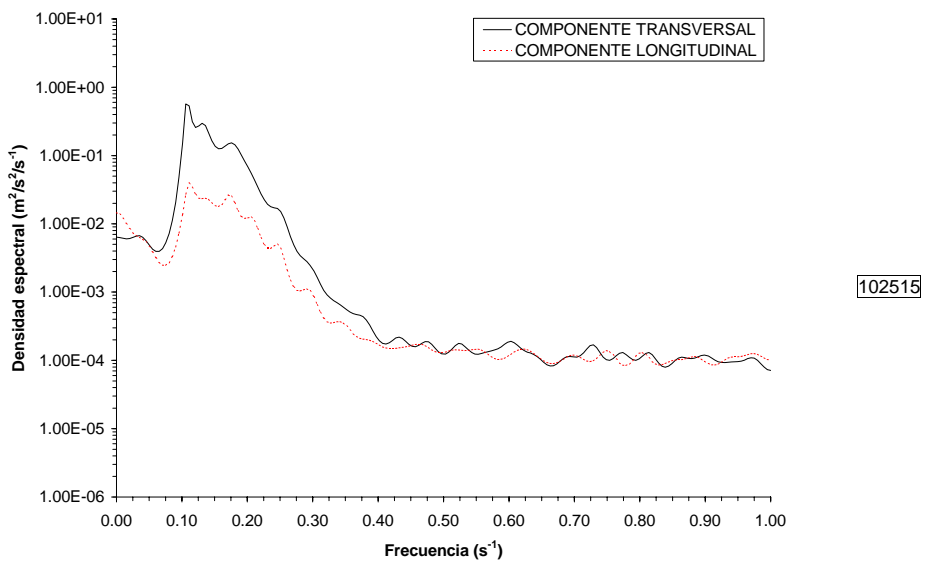
Figura A5 - 13. Densidades espectrales de las series temporales de velocidades orbitales registradas en el nivel superior del TRÍPODE 1 entre las 0:00 horas del 25 de octubre y las 6:00 horas del 25 de octubre.



102509

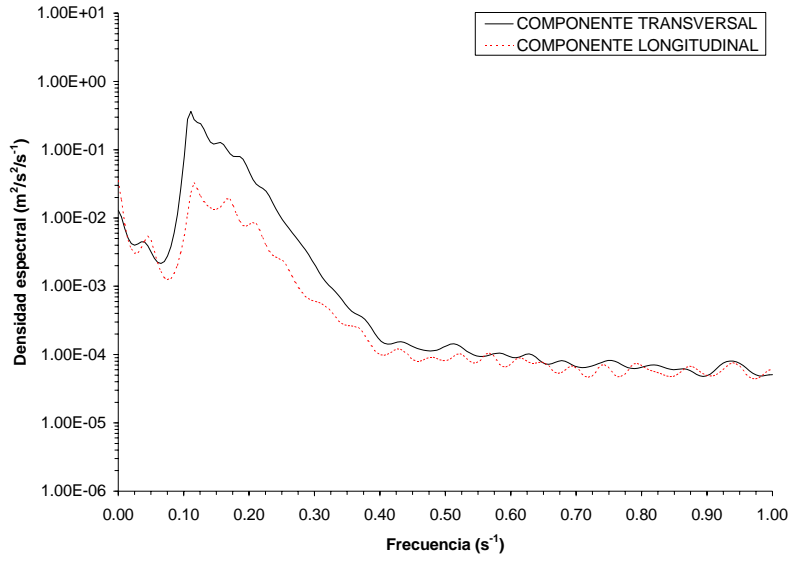


102512

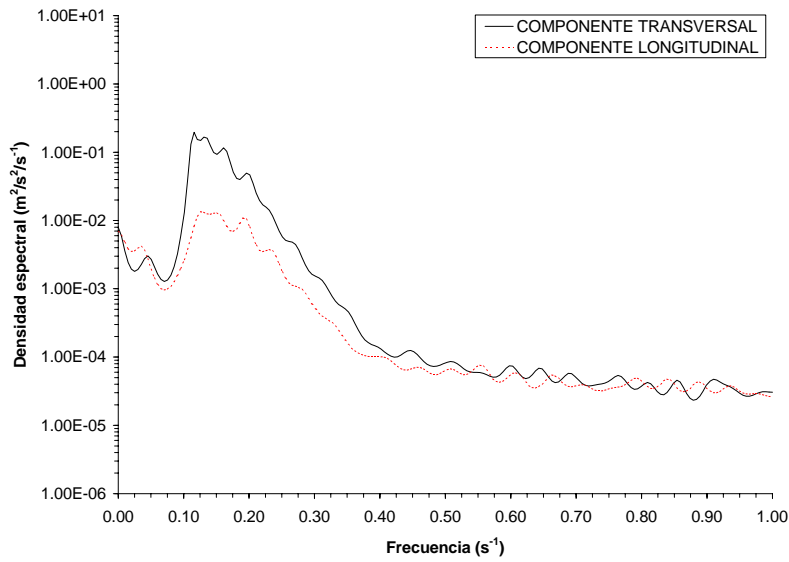


102515

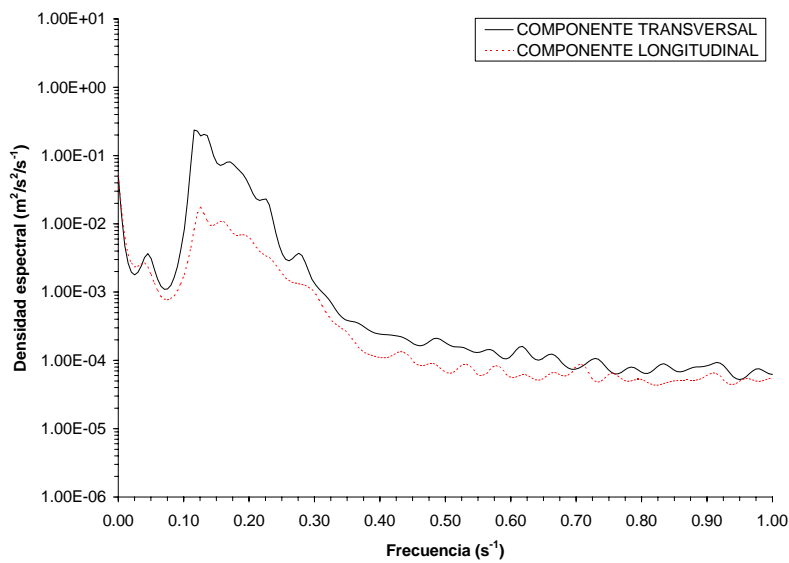
Figura A5 - 14. Densidades espectrales de las series temporales de velocidades orbitales registradas en el nivel superior del TRIPODE 1 entre las 9:00 horas del 25 de octubre y las 15:00 horas del 25 de octubre.



102518

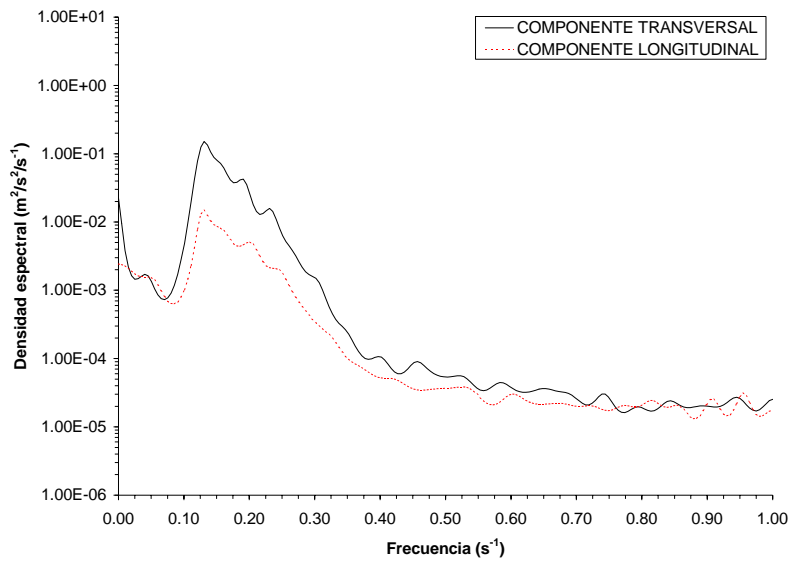


102521

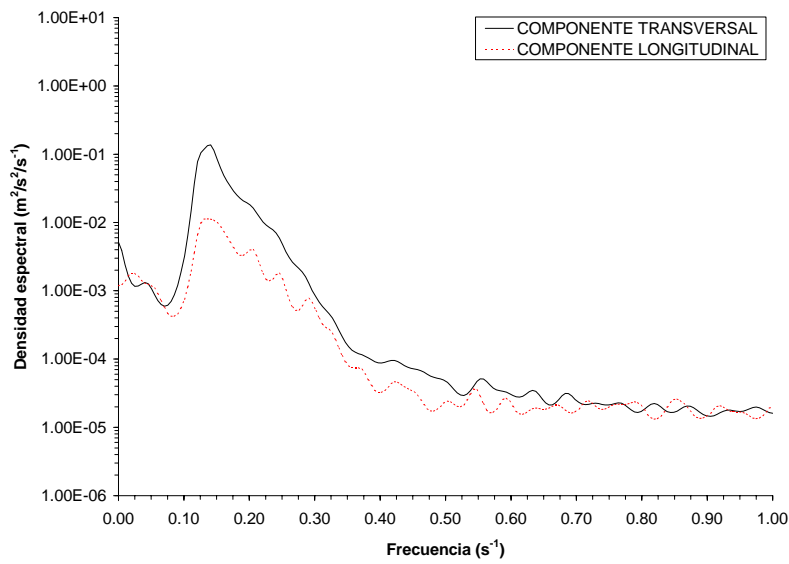


102600

Figura A5 - 15. Densidades espectrales de las series temporales de velocidades orbitales registradas en el nivel superior del TRIPODE 1 entre las 18:00 horas del 25 de octubre y las 0:00 horas del 26 de octubre.

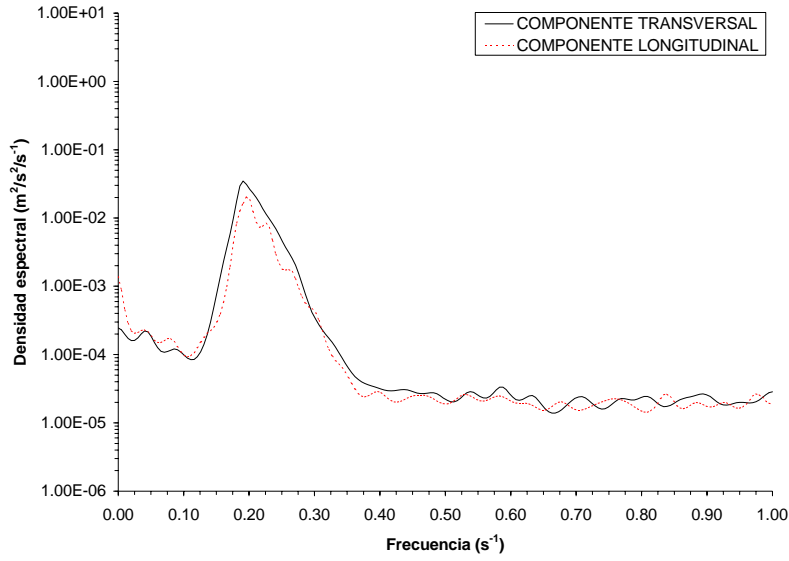


102603

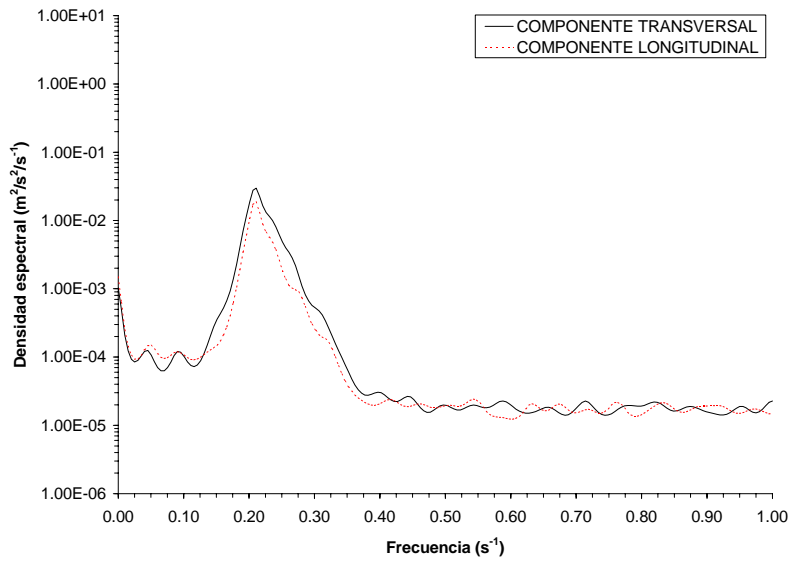


102606

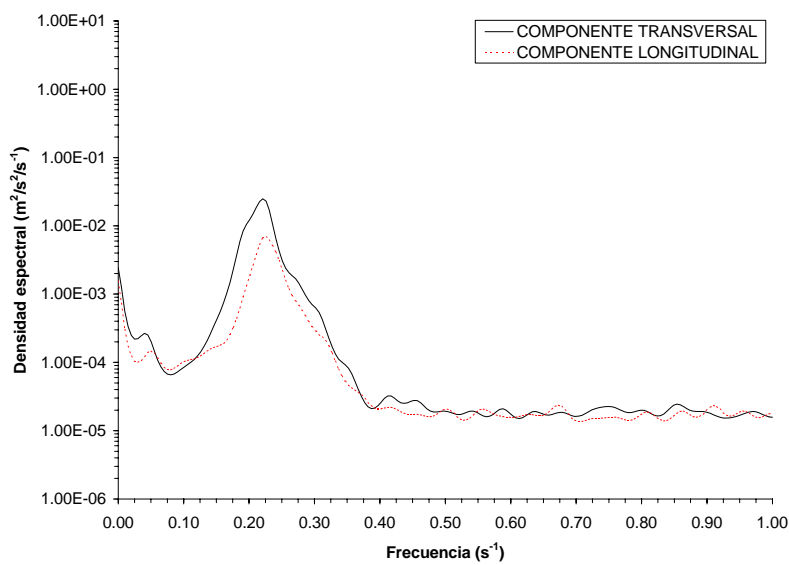
Figura A5 - 16. Densidades espectrales de las series temporales de velocidades orbitales registradas en el nivel superior del TRÍPODE 1 entre las 3:00 horas del 26 de octubre y las 6:00 horas del 26 de octubre.



102012

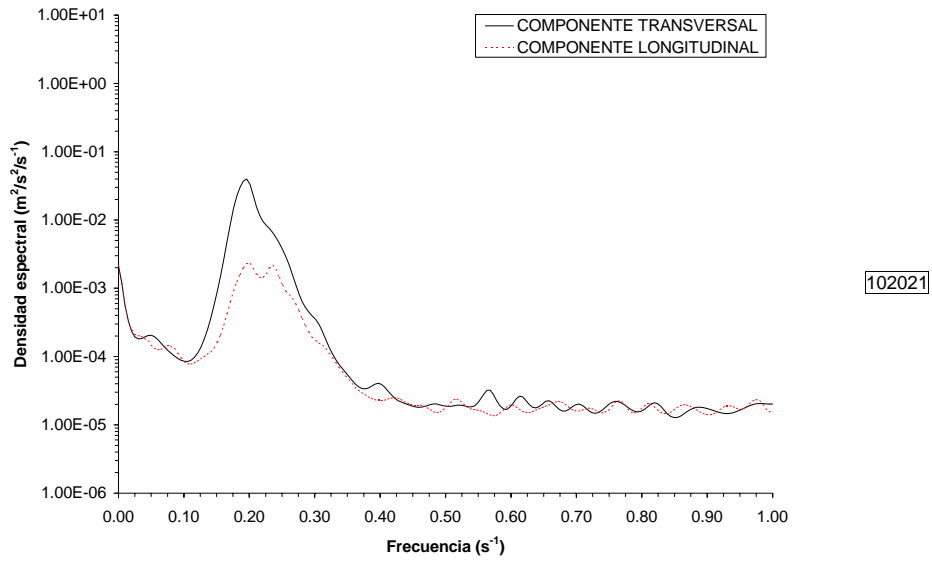


102015

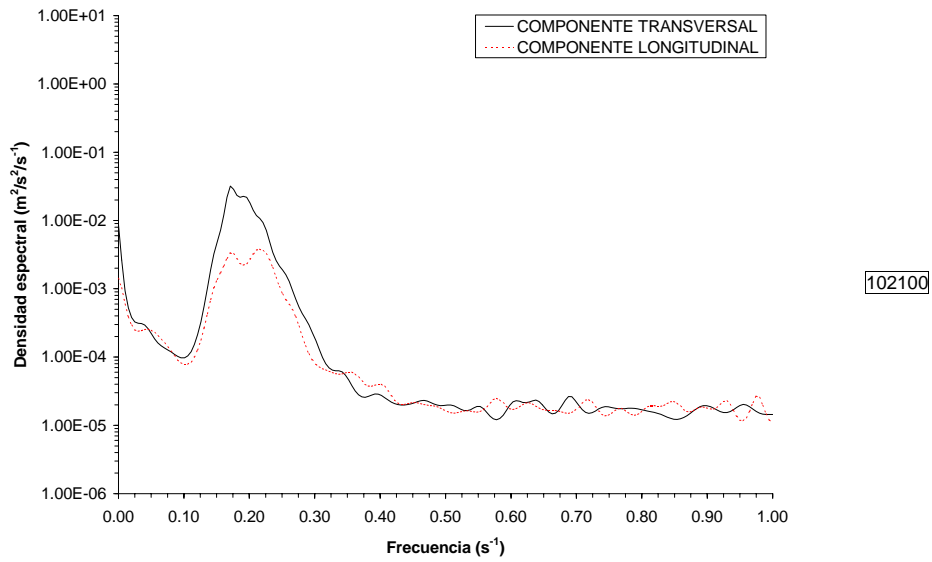


102018

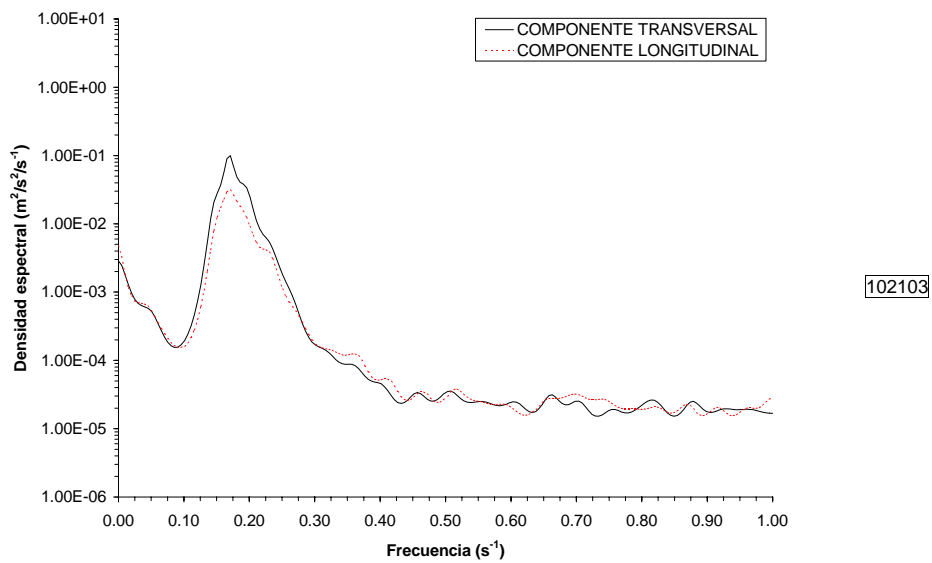
Figura A5 - 17. Densidades espectrales de las series temporales de velocidades orbitales registradas en el nivel superior del TRIPODE 2 entre las 21:00 horas del 20 de octubre y las 18:00 horas del 20 de octubre.



102021

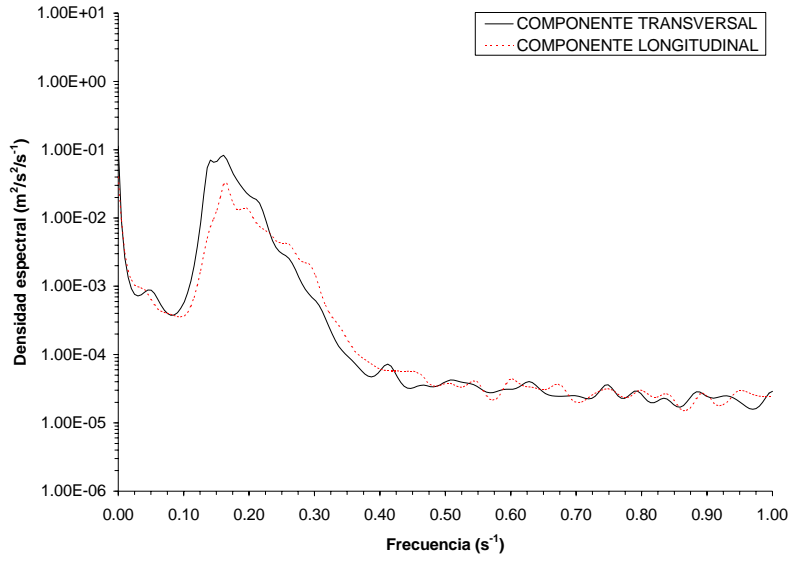


102100

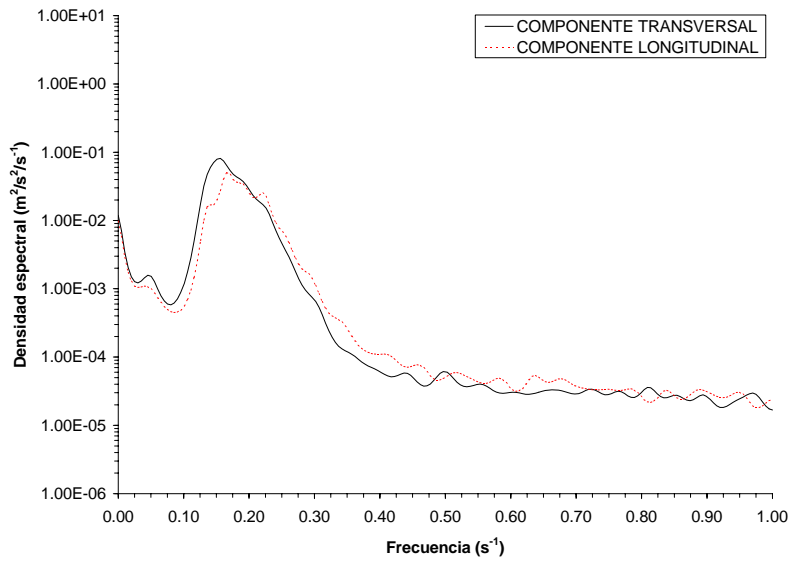


102103

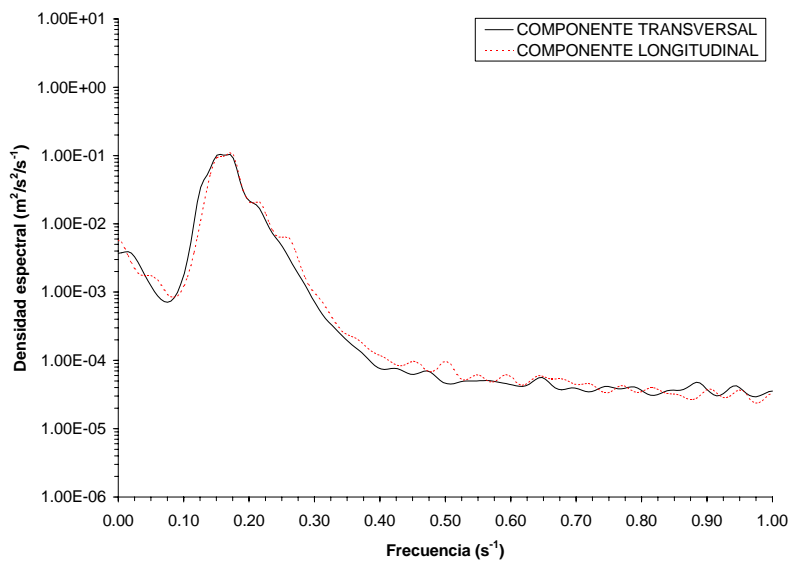
Figura A5 - 18. Densidades espectrales de las series temporales de velocidades orbitales registradas en el nivel superior del TRIPODE 2 entre las 21:00 horas del 20 de octubre y las 3:00 horas del 21 de octubre.



102106

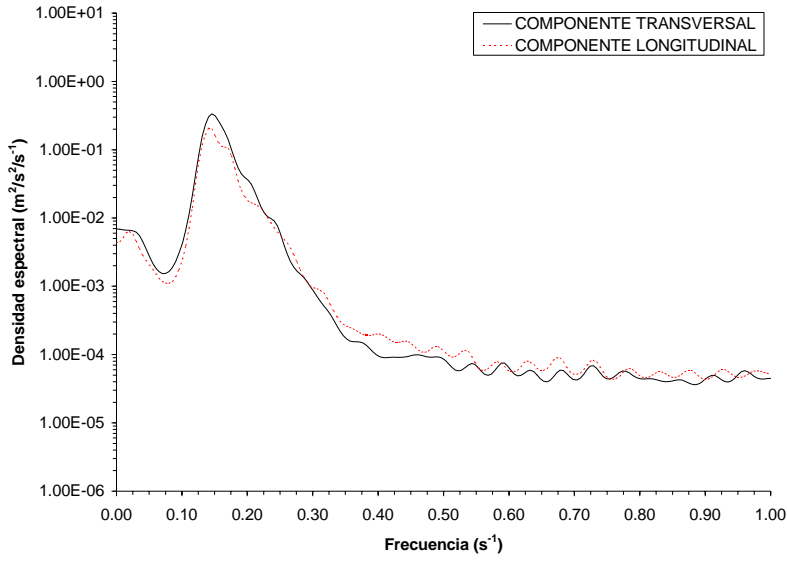


102109

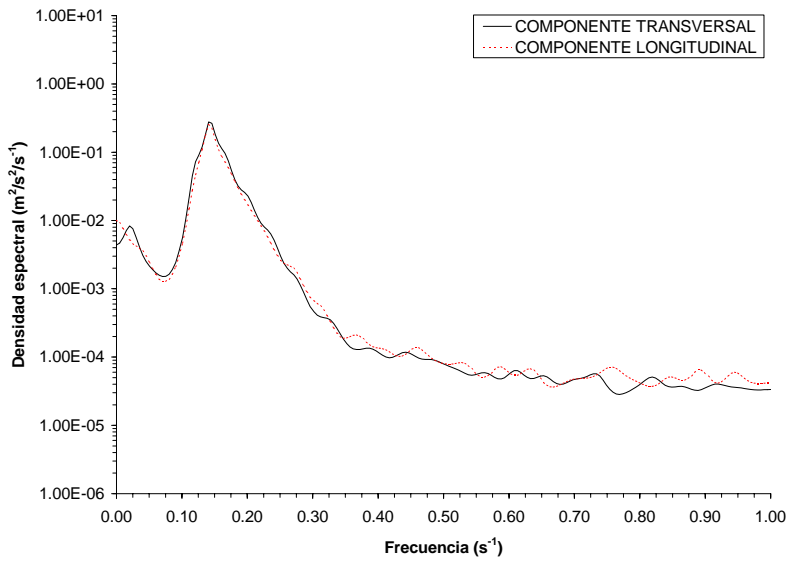


102112

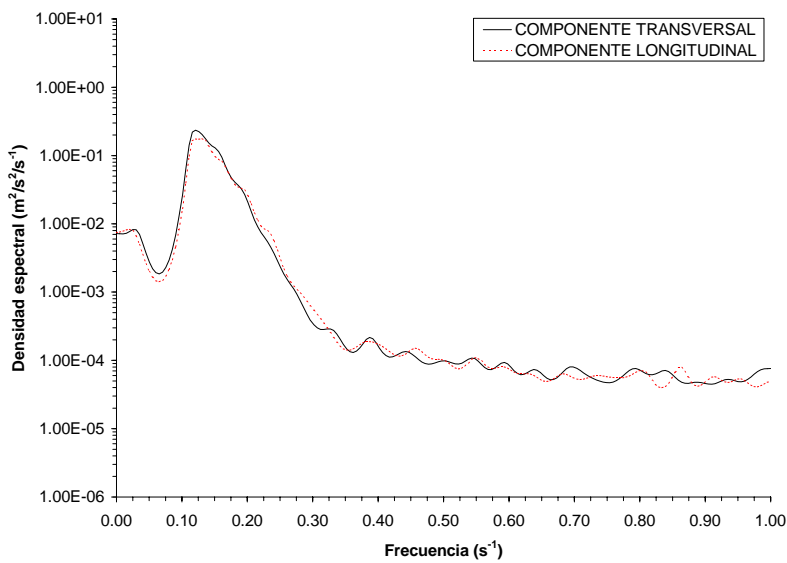
Figura A5 - 19. Densidades espectrales de las series temporales de velocidades orbitales registradas en el nivel superior del TRIPODE 2 entre las 6:00 horas del 21 de octubre y las 12:00 horas del 21 de octubre.



102115

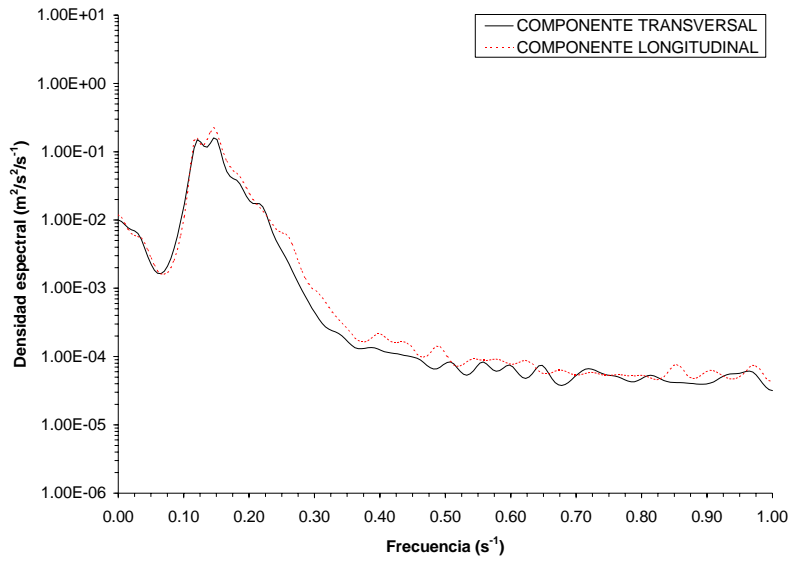


102118

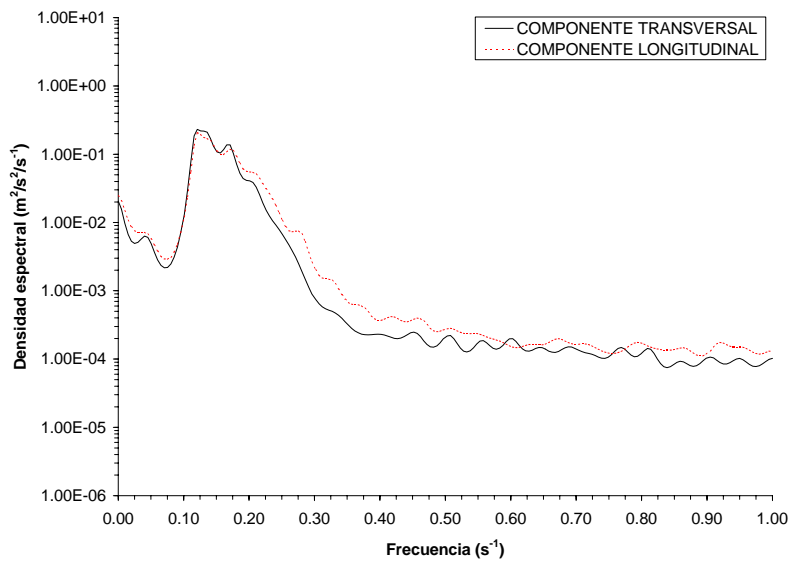


102121

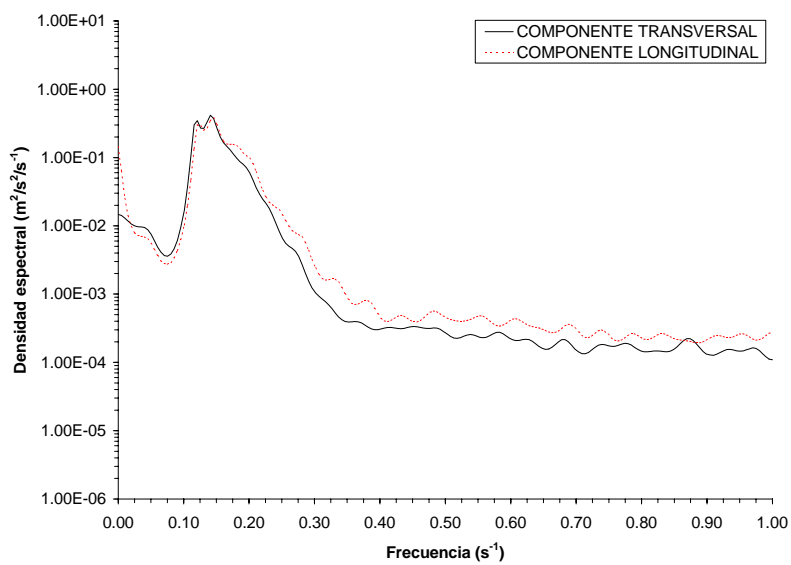
Figura A5 - 20. Densidades espectrales de las series temporales de velocidades orbitales registradas en el nivel superior del TRÍPODE 2 entre las 15:00 horas del 21 de octubre y las 21:00 horas del 21 de octubre.



102200

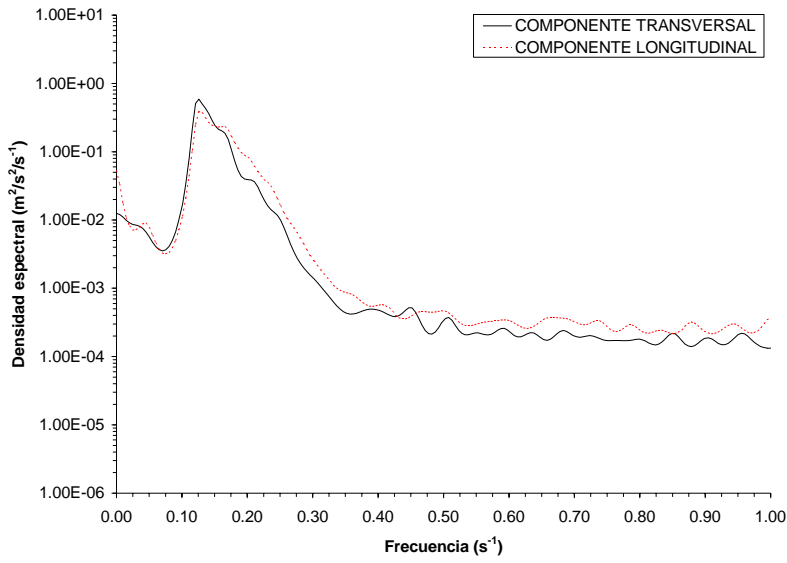


102203

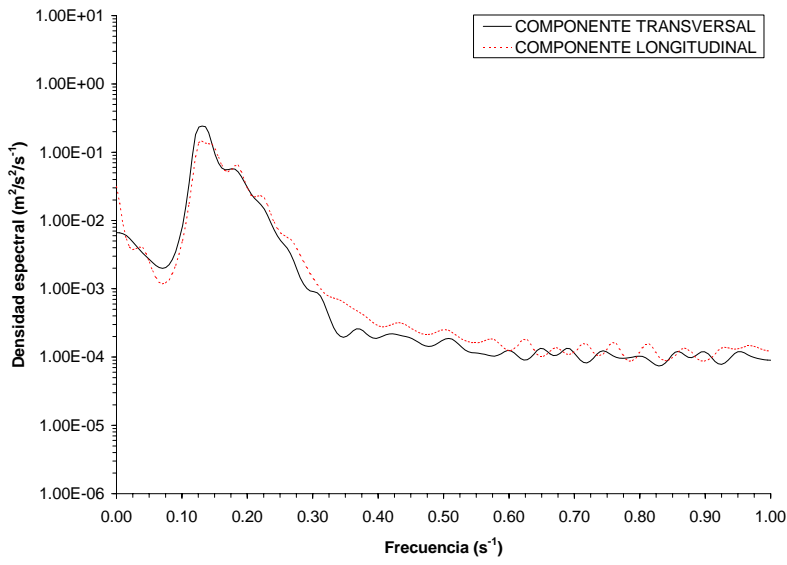


102206

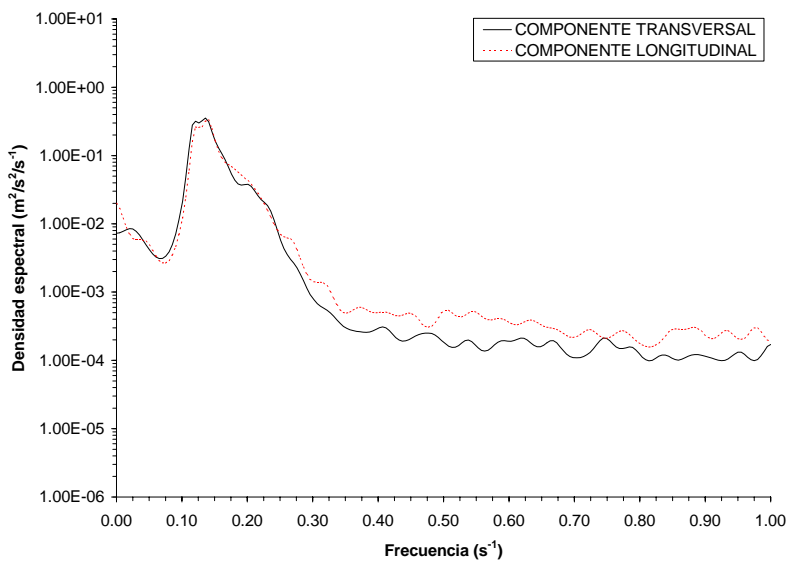
Figura A5 - 21. Densidades espectrales de las series temporales de velocidades orbitales registradas en el nivel superior del TRIPODE 2 entre las 0:00 horas del 22 de octubre y las 6:00 horas del 22 de octubre.



102209

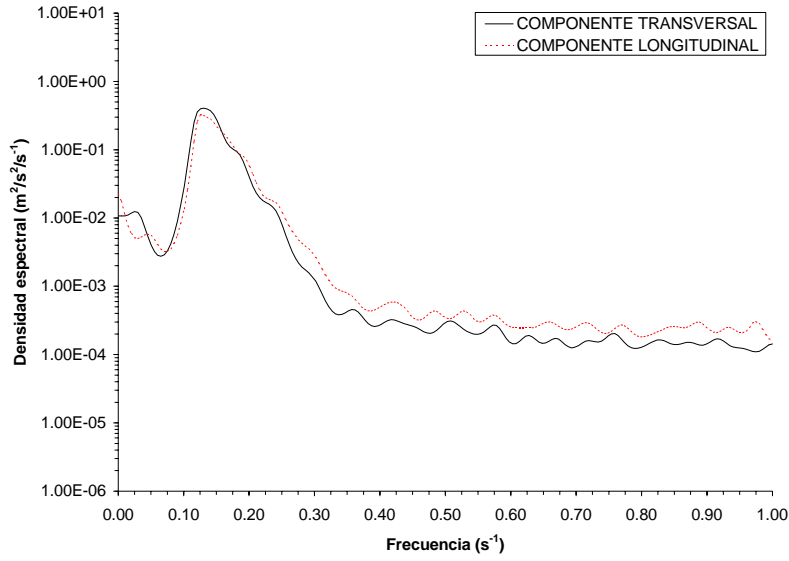


102212

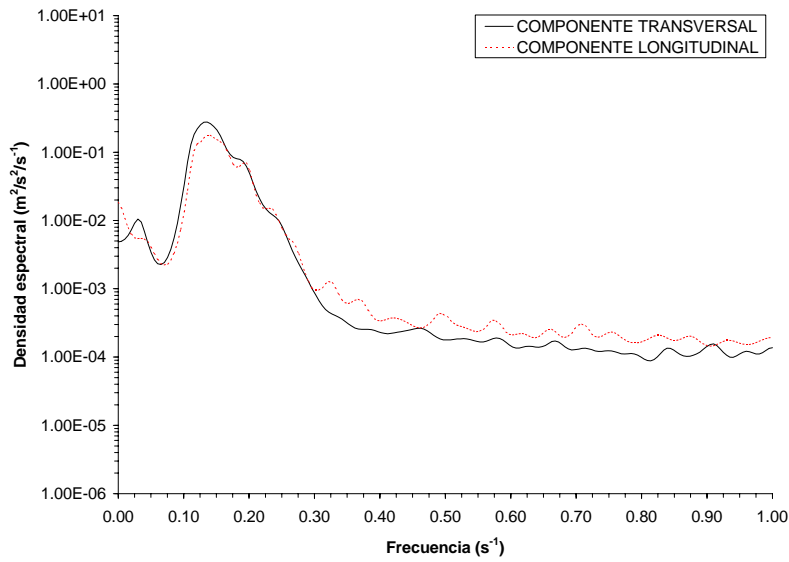


102215

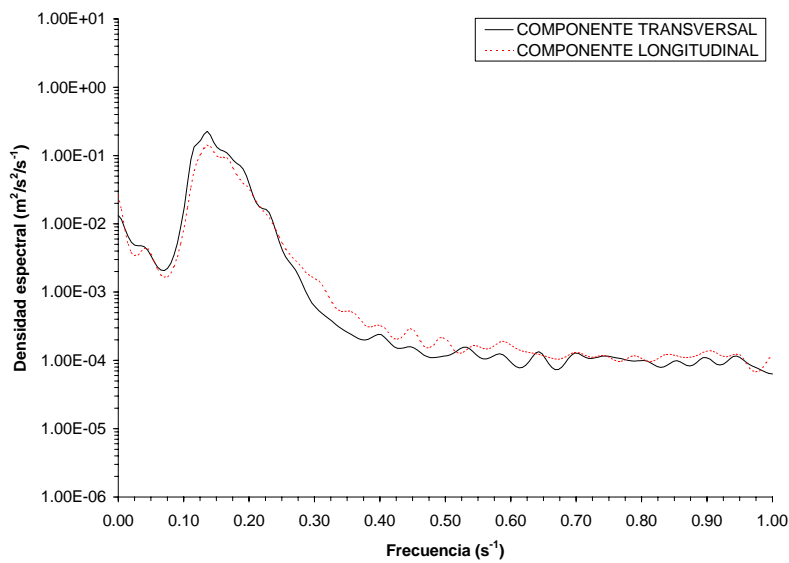
Figura A5 - 22. Densidades espectrales de las series temporales de velocidades orbitales registradas en el nivel superior del TRIPODE 2 entre las 9:00 horas del 22 de octubre y las 15:00 horas del 22 de octubre.



102218

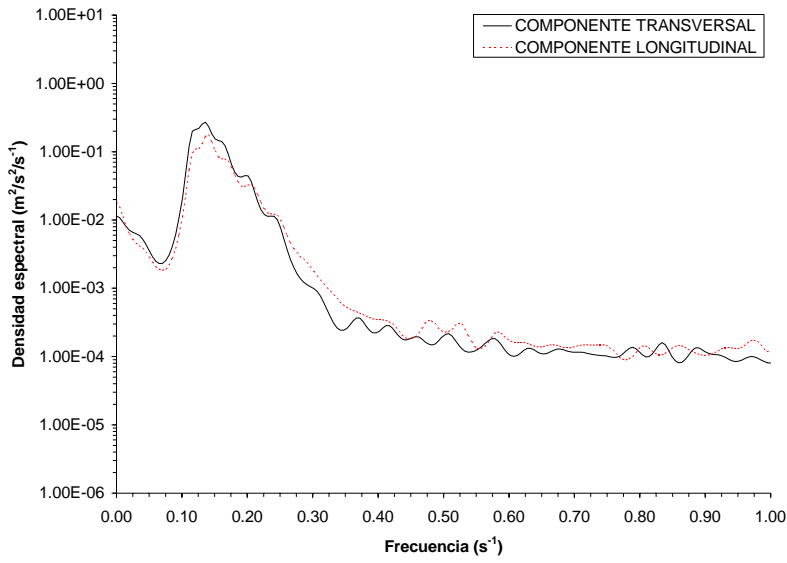


102221

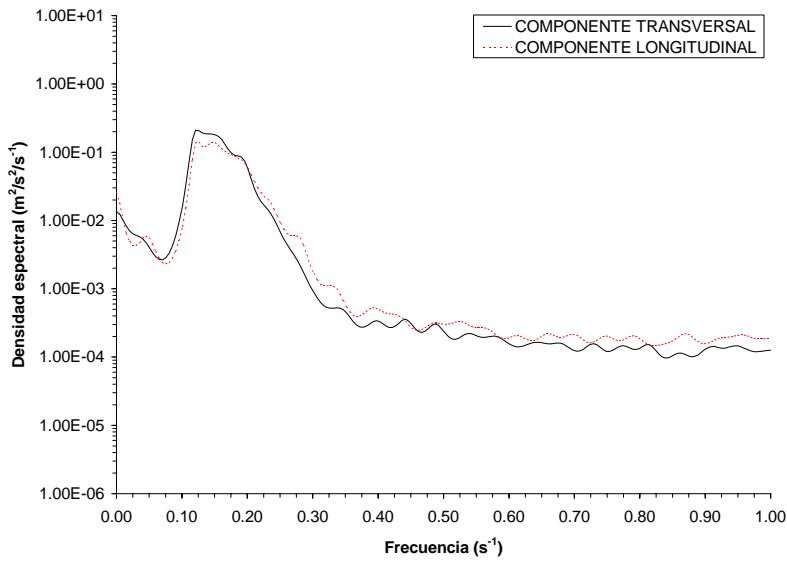


102300

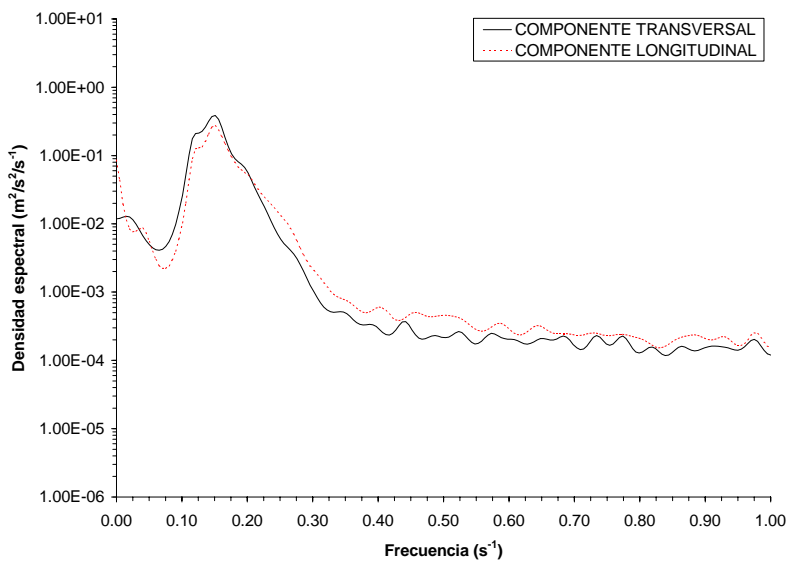
Figura A5 - 23. Densidades espectrales de las series temporales de velocidades orbitales registradas en el nivel superior del TRIPODE 2 entre las 18:00 horas del 22 de octubre y las 0:00 horas del 23 de octubre.



102303

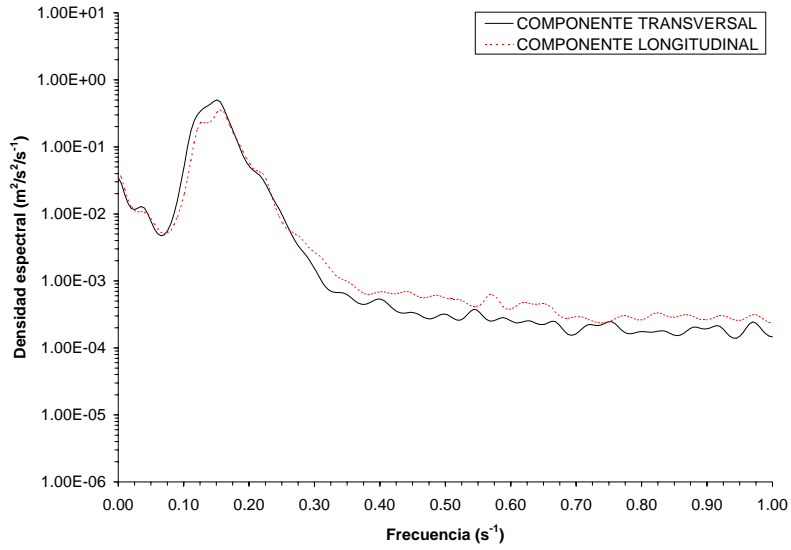


102306

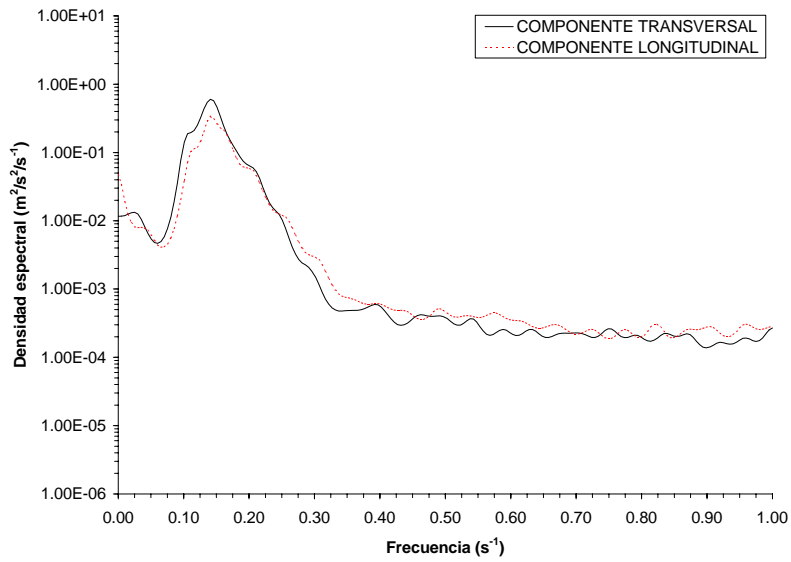


102309

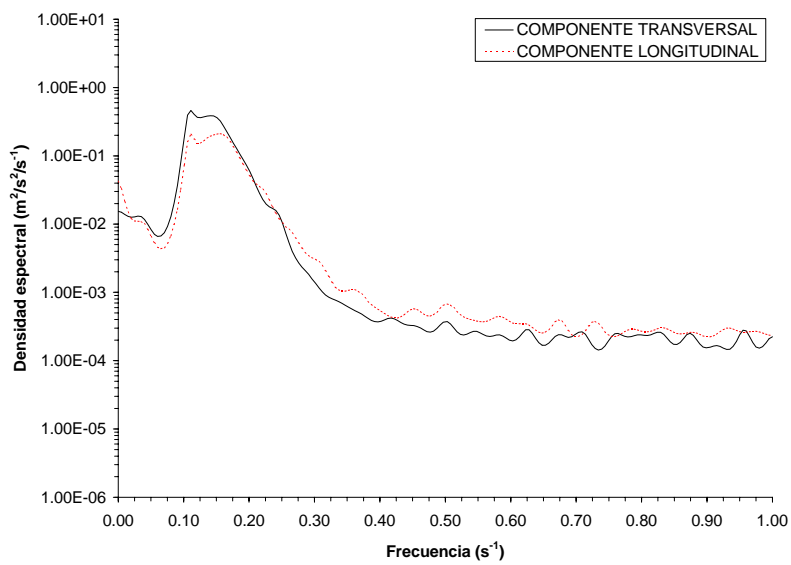
Figura A5 - 24. Densidades espectrales de las series temporales de velocidades orbitales registradas en el nivel superior del TRÍPODE 2 entre las 3:00 horas del 23 de octubre y las 9:00 horas del 23 de octubre.



102312

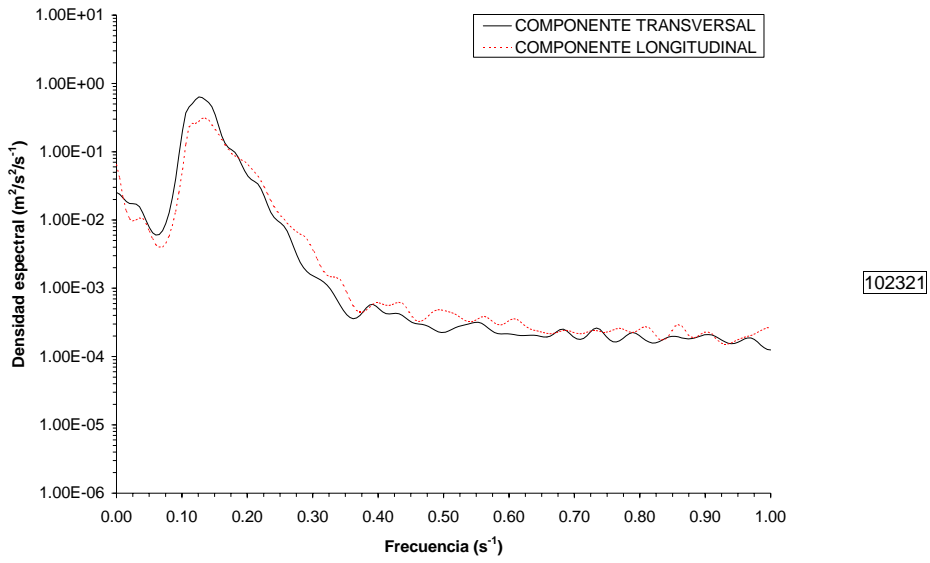


102315

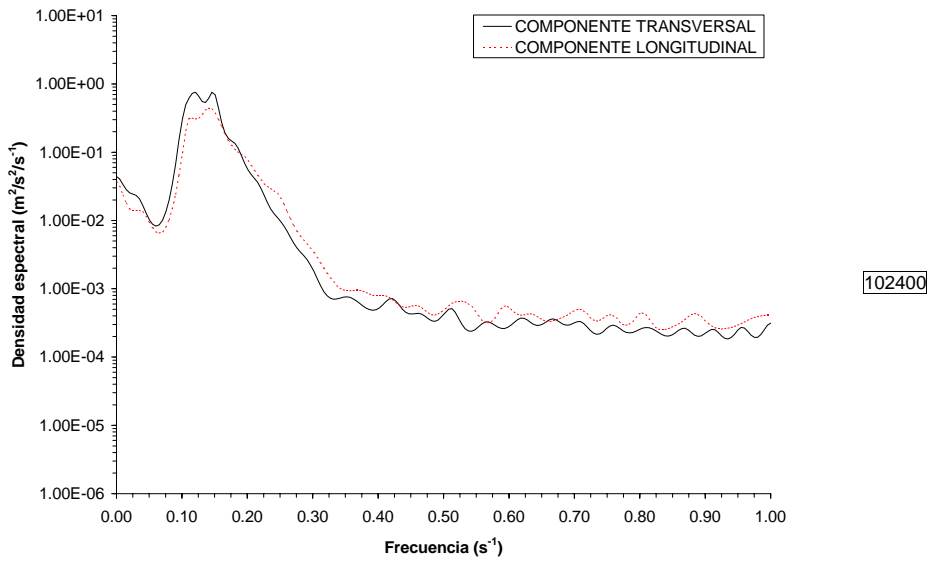


102318

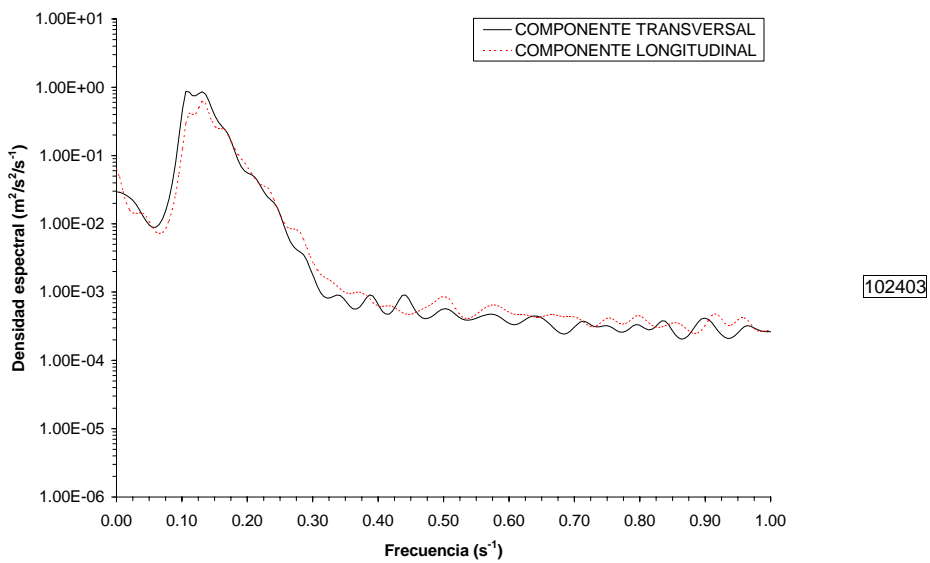
Figura A5 - 25. Densidades espectrales de las series temporales de velocidades orbitales registradas en el nivel superior del TRÍPODE 2 entre las 12:00 horas del 23 de octubre y las 18:00 horas del 23 de octubre.



102321

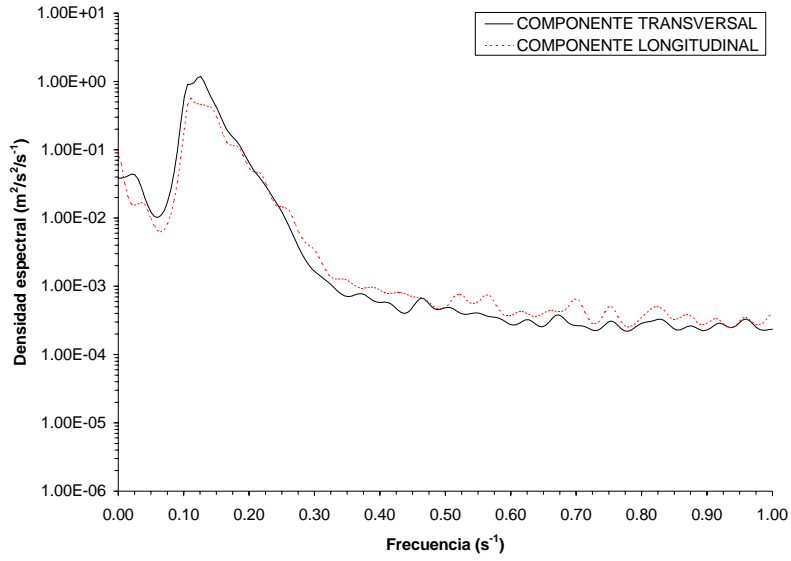


102400

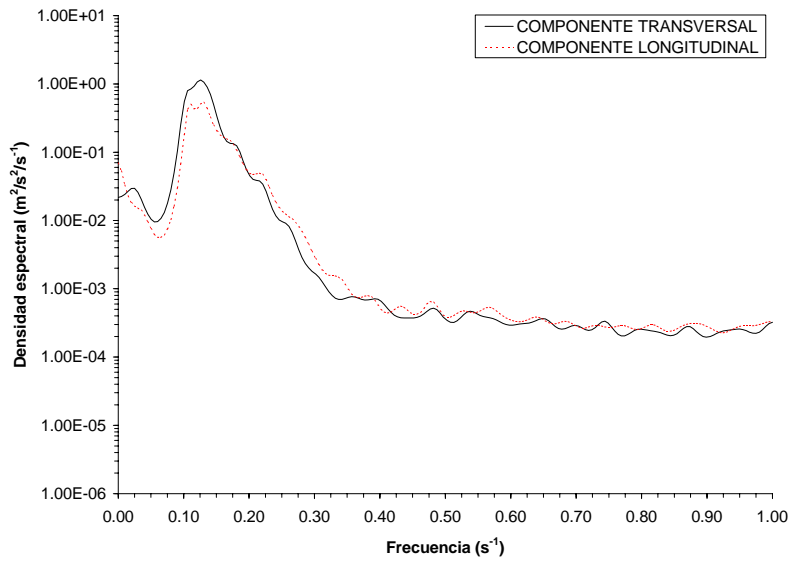


102403

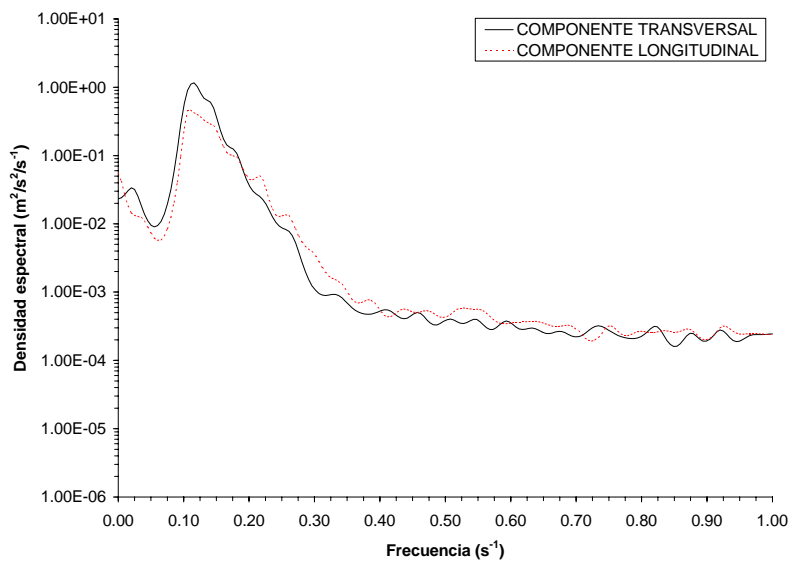
Figura A5 - 26. Densidades espectrales de las series temporales de velocidades orbitales registradas en el nivel superior del TRIPODE 2 entre las 21:00 horas del 23 de octubre y las 3:00 horas del 24 de octubre.



102406

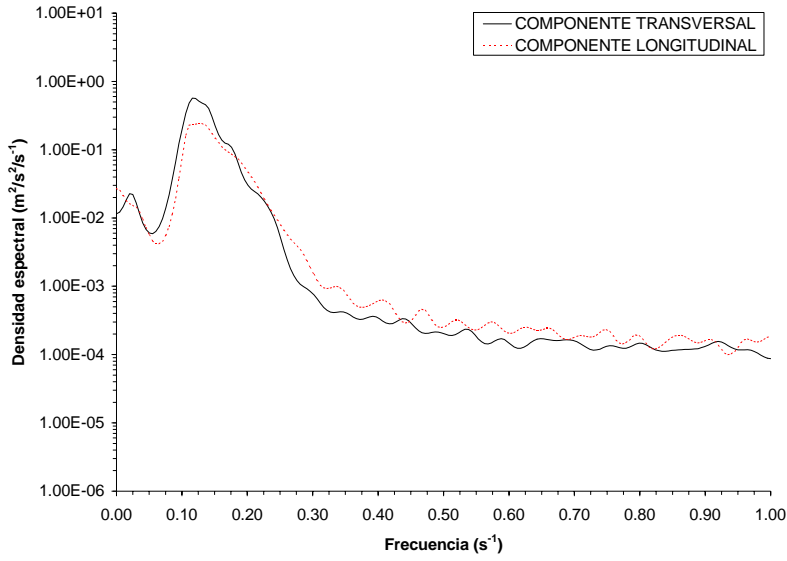


102409

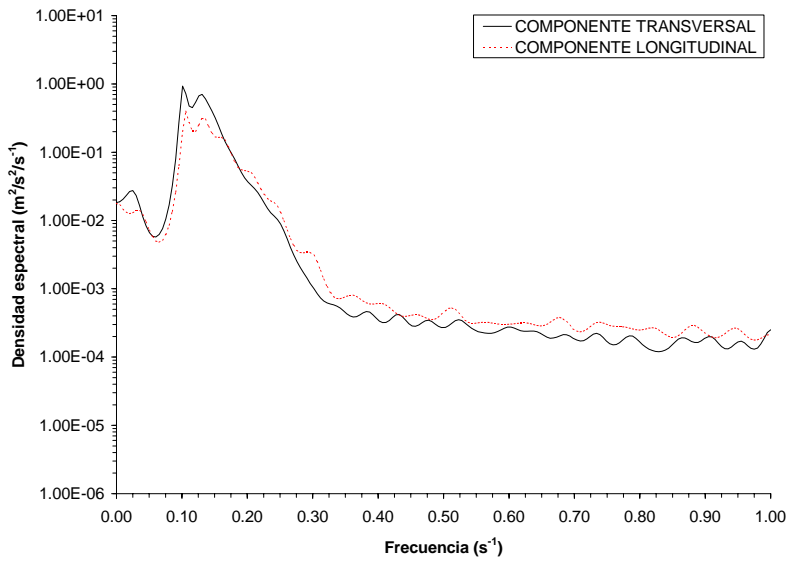


102412

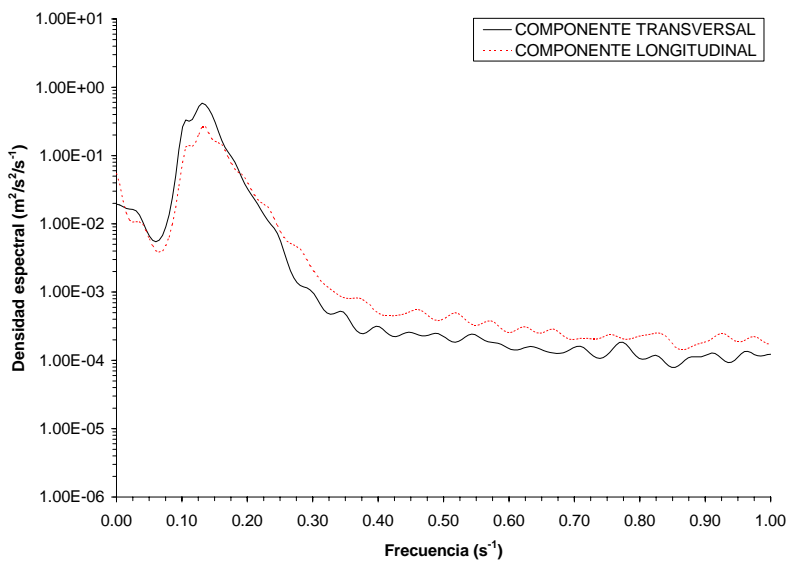
Figura A5 - 27. Densidades espectrales de las series temporales de velocidades orbitales registradas en el nivel superior del TRIPODE 2 entre las 6:00 horas del 24 de octubre y las 12:00 horas del 24 de octubre.



102415

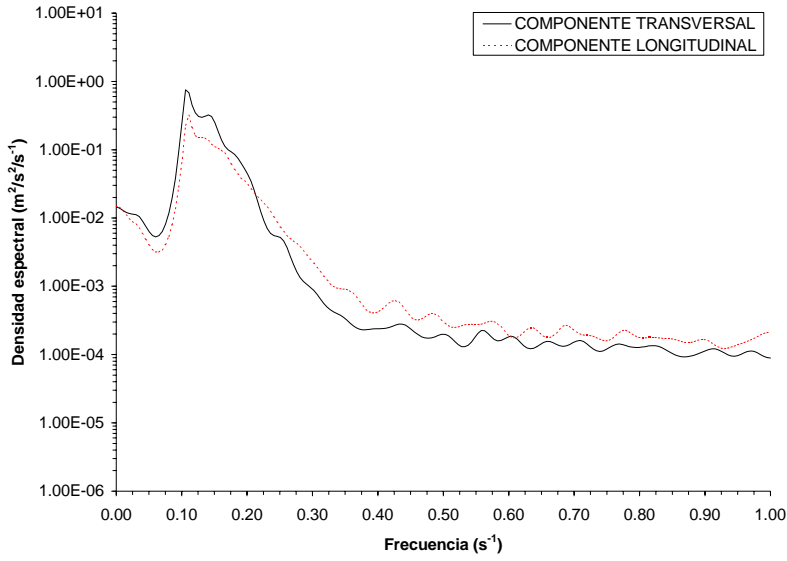


102418

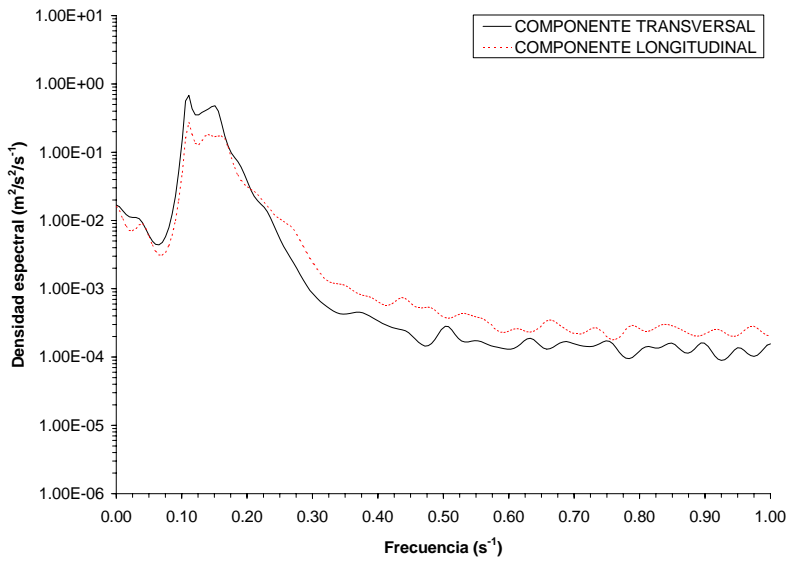


102421

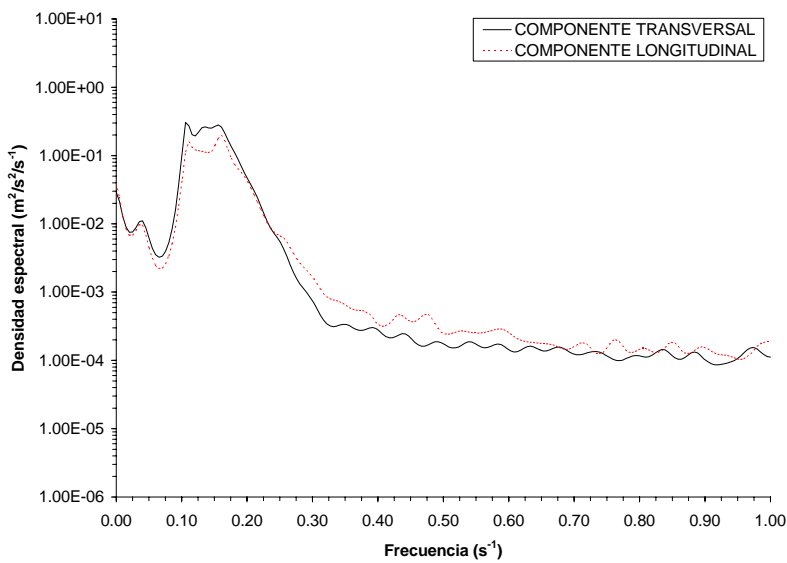
Figura A5 - 28. Densidades espectrales de las series temporales de velocidades orbitales registradas en el nivel superior del TRÍPODE 2 entre las 15:00 horas del 24 de octubre y las 21:00 horas del 24 de octubre.



102500

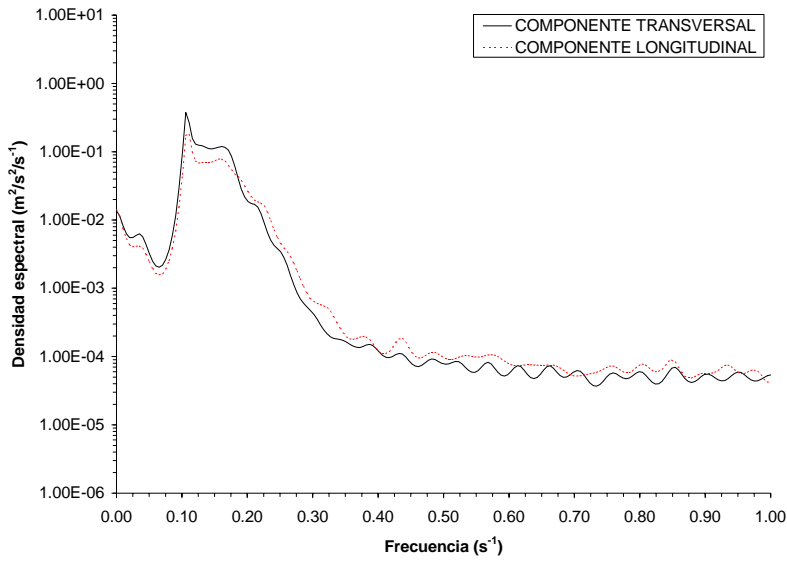


102503

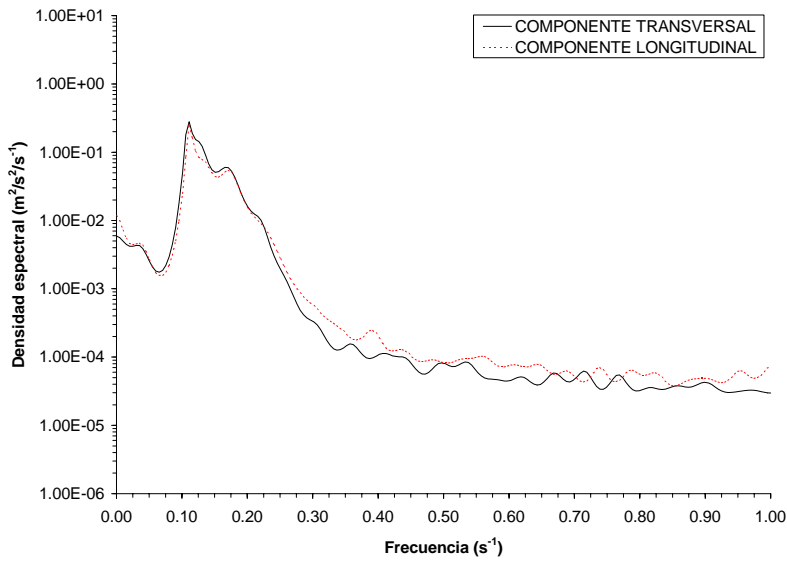


102506

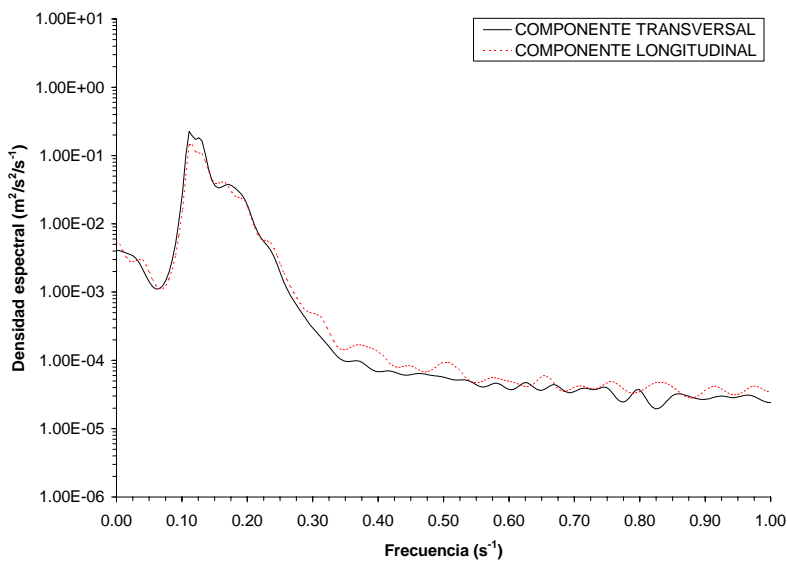
Figura A5 - 29. Densidades espectrales de las series temporales de velocidades orbitales registradas en el nivel superior del TRIPODE 2 entre las 0:00 horas del 25 de octubre y las 6:00 horas del 25 de octubre.



102509

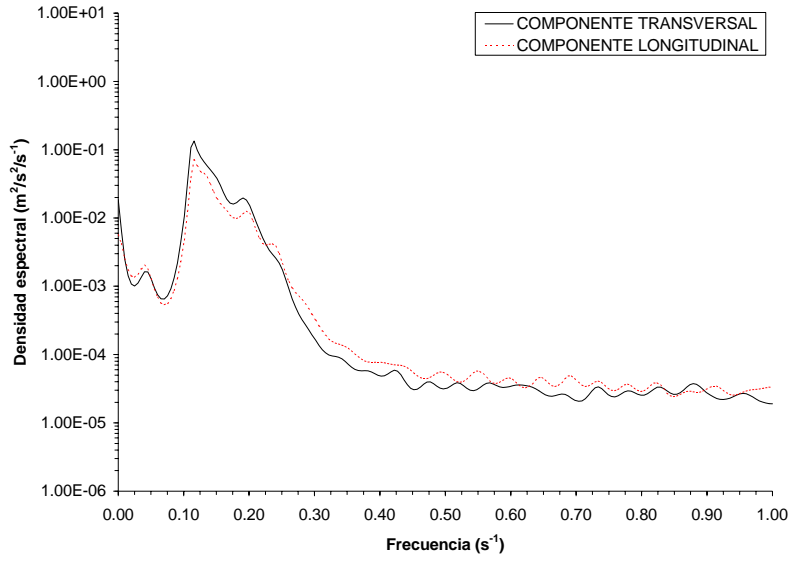


102512

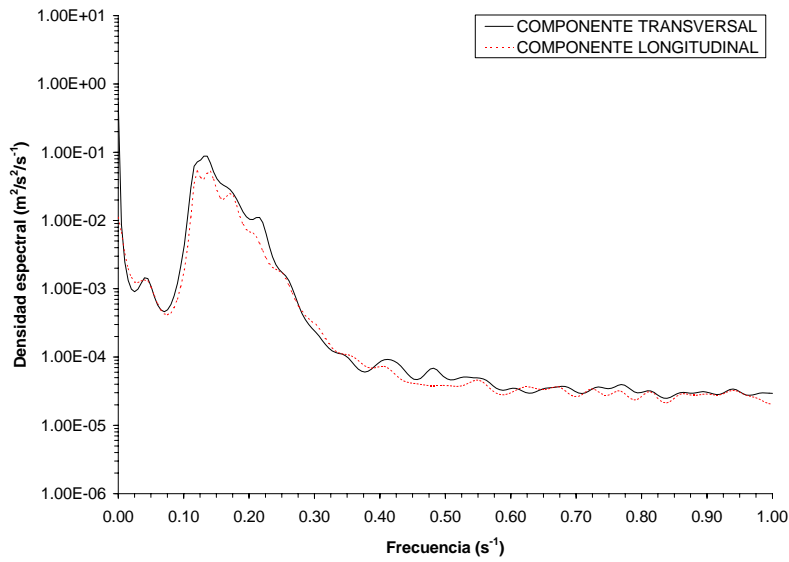


102515

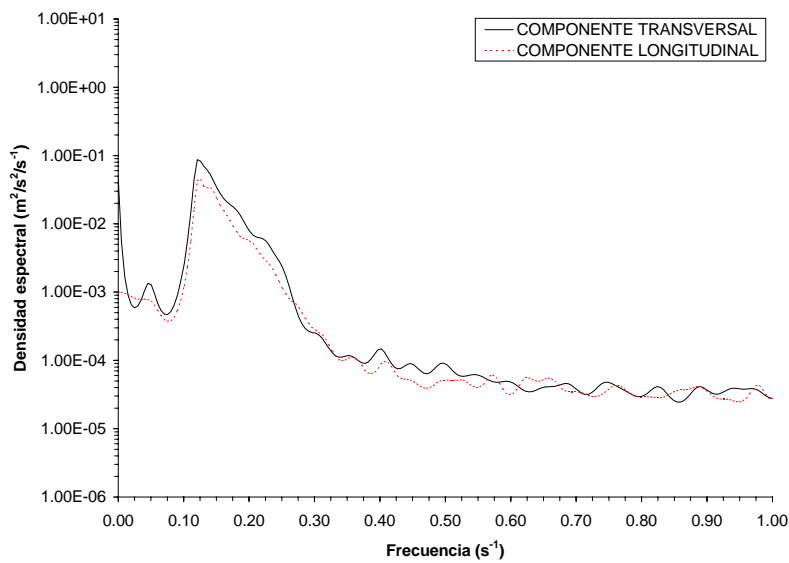
Figura A5 - 30. Densidades espectrales de las series temporales de velocidades orbitales registradas en el nivel superior del TRIPODE 2 entre las 9:00 horas del 25 de octubre y las 15:00 horas del 25 de octubre.



102518

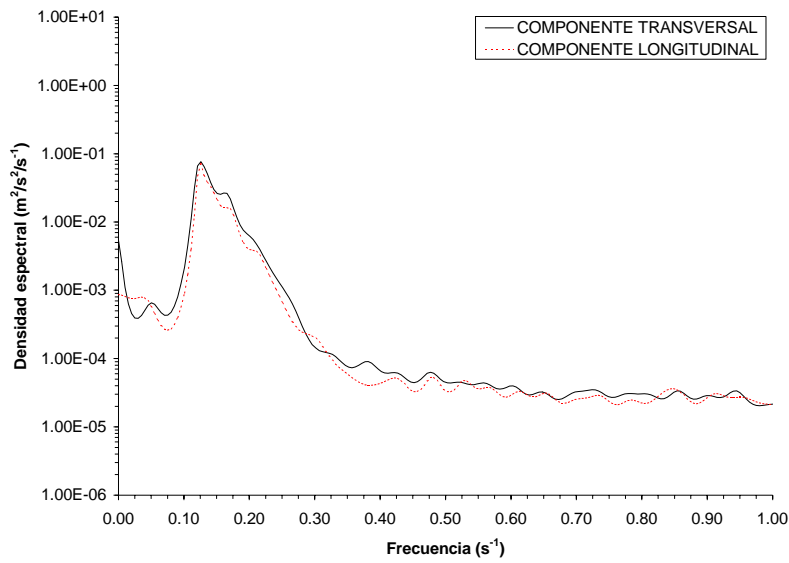


102521

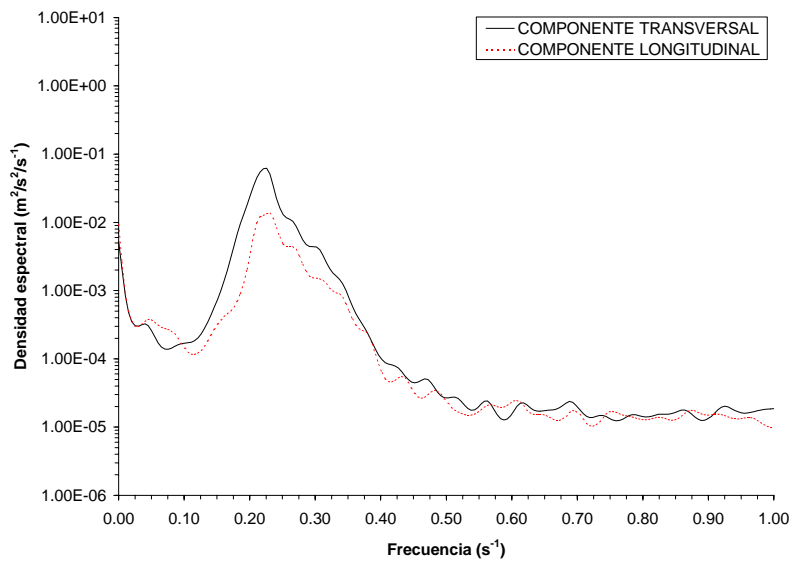


102600

Figura A5 - 31. Densidades espectrales de las series temporales de velocidades orbitales registradas en el nivel superior del TRIPODE 2 entre las 18:00 horas del 25 de octubre y las 0:00 horas del 26 de octubre.



102603



102606

Figura A5 - 32. Densidades espectrales de las series temporales de velocidades orbitales registradas en el nivel superior del TRÍPODE 2 entre las 3:00 horas del 26 de octubre y las 6:00 horas del 26 de octubre.